
QUELQUES ASPECTS DIOPHANTIENS DES
VARIÉTÉS TORIQUES PROJECTIVES

par

Patrice Philippon & Martin Sombra

An Wolfgang Schmidt
Der oft und schick
'nen Edelsatz
Geschmiedet hat

Resumé. | On présente plusieurs facettes des variétés toriques projectives, intéressantes du point de vue de la géométrie diophantienne. On montre comment la théorie s'explique sur un certain nombre d'exemples significatifs et on établit également un théorème de type Bezout pour les poids de Chow des variétés projectives.

Abstract. | Some diophantine aspects of projective toric varieties. We present several facets of projective toric varieties, of interest from the point of view of Diophantine geometry. We make explicit the theory in a number of meaningful examples and we also prove a Bezout type theorem for Chow weight of projective varieties.

Introduction et résultats

Les variétés toriques jouent un rôle important au carrefour de l'algèbre, la géométrie et la combinatoire. Elles constituent une classe de variétés somme toute rigide pour que beaucoup des invariants s'explicitent en termes combinatoires, et en même temps somme toute riche pour permettre de tester et illustrer diverses conjectures et théories abstraites. Elle trouve application dans de nombreuses branches des mathématiques : géométrie algébrique bien sûr, algèbre commutative, combinatoire, calcul formel, géométries symplectique et kählerienne, topologie et physique mathématique, voir par exemple [Fu93], [GKZ94], [Stu96], [Cox01], [Ald91], [Don02].

Par définition, les variétés toriques projectives sont les compactifications équivariantes des translates de sous-tores des tores multiplicatifs G_m^N . Du point de vue de la géométrie diophantienne, ces variétés se trouvent à la croisée des problèmes de Lehmer et de Bogomolov

Classification mathématique par sujets (2000). | Primaire: 11G50; Secondaire: 14M25, 14G40.

Mots clefs. | Variété torique, hauteur normalisée, multihauteurs, fonction de Hilbert arithmétique, poids de Chow, volume mixte, indice d'obstruction, minimum successifs.

P. Philippon a été partiellement financé par une allocation de recherche de la Fondation Alexander von Humboldt pendant la réalisation de ce travail. M. Sombra a été financé par le Programme Ramón y Cajal du Ministerio de Educación y Ciencia, Espagne.

generalises sur les tores. En effet, on sait que lorsqu'elles ne sont pas de torsion, les minorations pour la hauteur normalis e de ces vari etes sont de nature fondamentalement arithm etique, dependant essentiellement du corps de d efinition de la vari ete. Au contraire, pour les sous-vari etes de G_m^N qui ne sont pas des translatees de sous-tores on dispose de minorations ne dependant que de leur geom etrie, voir [AD03], [AD04], [Dav03]. D'un autre c ote, R. Ferretti [Fer03] a exploite les vari etes toriques afin de trouver des exemples concrets de l'extension du theoreme du sous-espace aux vari etes projectives, qu'il a obtenue avec J.-H. Evertse [EF02].

Dans [PS04] (voir aussi [PS05]) nous avons etudie l'un des invariants arithm etiques les plus significatifs des vari etes dans le cas torique, a savoir leur hauteur normalis e. Cet invariant est l'analogue arithm etique du degre, il mesure la complexite binaire d'une representation de la vari ete et contr ole aussi la distribution des points algebriques de petite hauteur sur la vari ete. Dans [PS04], on a donne une expression explicite pour la hauteur normalis e d'une vari ete torique et plus g eneralement pour la multihauteur d'un tore par rapport a plusieurs plongements monomiaux.

Ces resultats sont en parfait parallele avec la theorie geom etrique. En fait, on construit un objet adielique χ_X associe a une vari ete torique X (constitue par une famille nie de fonctions concaves et aines par morceaux) qui est le pendant arithm etique du polytope classiquement associe a l'action du tore et dont l'integrale donne la hauteur. Gr ace a cette approche, il est possible de calculer explicitement cette quantite pour n'importe quelle vari ete torique particuliere et de tester utilement des conjectures et resultats.

Le present texte a le double propos d'introduire le lecteur a l'etude des vari etes toriques debutee dans [PS04] (§ IV, § V), et de presenter de nouvelles applications des vari etes toriques a des problemes diophantiens ou d'origine diophantienne (§ II, § III, § VI, § VII).

Dans le § II on s'interesse aux indices d'obstruction successifs des vari etes toriques de nies sur un corps algebriquement clos K . Il s'agit des plus petits degres de formes d'une suite secante (soit globalement, soit dans un ouvert) decoupant un ensemble algebrique ayant la vari ete comme composante. Diff erentes variantes de ces indices jouent un r ole important dans les generalisations des problemes de Lehmer et de Bogomolov par exemple, voir [AD03].

Les sous-vari etes toriques de $P^N(K)$ correspondent a des ideaux binomiaux premiers et homogenes de l'anneau $K[x_0; \dots; x_N]$. De plus, les binomes engendrant l'ideal d'une vari ete torique X s'explicitent en termes d'un certain Z -module $\chi_X = Z^{N+1}$ naturellement associe a X , voir [ES96] ou § II.

On montre que le premier indice d'obstruction d'une vari ete torique X est egal au premier minimum de χ_X par rapport a une metrique convenable; et plus g eneralement, que les indices d'obstruction successifs $!_i(X; (P^N))$ de cette vari ete relatifs a l'ouvert (P^N) coïncident avec les minima successifs de χ_X et qu'ils se realisent par des equations binomiales (Proposition II.4). Via ce resultat, le deuxieme theoreme de Minkowski se traduit en des estimations pour le produit des indices d'obstruction successifs, qui precisent dans le cas torique les estimations de M. Chardin [Cha89] et de Chardin et P. Philippon [CP99]:

Proposition 0.1. | Soit $X \subset P^N$ une vari ete torique de dimension n , alors

$$\deg(X) \cdot !_1(X; (P^N)) \cdots !_n(X; (P^N)) \leq (N+1)^{N-n} \deg(X):$$

En outre, le reseau χ_X s'identifie au reseau des periodes de l'application exponentielle restreinte a l'espace tangent en l'origine de X . On retrouve ainsi au § III certains resultats de [BP88] reliant degre et multi-degrees d'un sous-groupe algebrique d'un tore multiplicatif au volume de son reseau des periodes et a la hauteur de son espace tangent.

Dans l'article [PS06] on poursuit une étude approfondie des indices d'obstruction des variétés toriques et de son application à la minoration de la hauteur des points dans ces variétés.

Soit maintenant $X \subset \mathbb{P}^N$ une variété quelconque de dimension n et $\omega = (a_0; \dots; a_n) \in \mathbb{R}^{N+1}$ un vecteur poids. Soient $n+1$ groupes $U_0; \dots; U_n$ de $N+1$ variables chacun et considérons la forme de Chow de X

$$Ch_X = \sum_{a \in 2\mathbb{N}^{(n+1)(N+1)}} c_a U_0^{a_0} \dots U_n^{a_n} \in K[U_0; \dots; U_n]$$

Le poids de Chow relatif (ou poids de Chow) de X est de norme 1 et le poids de sa forme de Chow par rapport au vecteur $(a_0; \dots; a_n) \in \mathbb{R}^{(n+1)(N+1)}$, c'est-à-dire

$$e(X) = \max_{a \in 2\mathbb{N}^{(n+1)(N+1)}} \sum_{i=0}^n a_i \text{ tel que } c_a \neq 0;$$

où \sum désigne le produit scalaire ordinaire.

Le poids de Chow a été introduit par D. Mumford [Mum77] en relation avec la stabilité des variétés projectives. On le retrouve (et en particulier l'énoncé IV.3 du présent texte) dans un travail de S.K. Donaldson [Don02] montrant la relation entre stabilité des variétés toriques et existence de métrique kahlerienne à courbure constante. Il apparaît également en géométrie diophantienne au travers des travaux de Ferretti [Fer03], Evertse et Ferretti [EF02] et dans notre formule pour la hauteur d'une variété torique [PS04].

Pour $t \in \mathbb{Z}^{N+1}$, considérons l'action du sous-groupe à un paramètre

$$\lambda : G_m \times \mathbb{P}^N \rightarrow \mathbb{P}^N; \quad (t; (x_0 : \dots : x_N)) \mapsto (t^0 x_0 : \dots : t^N x_N)$$

et la déformation torique X_t de X associée, de norme 1 et l'adhérence de Zariski de l'ensemble

$$f^{-1}(0) = \{t \in \mathbb{Z}^{N+1}; \exists x \in X \text{ tel que } (t^0 x_0 : \dots : t^N x_N) = 0\}.$$

La variété initiale de X relative au poids $\omega \in \mathbb{Z}^{N+1}$ est par définition

$$\text{init}(X) = \{X_t \mid (t^0 : \dots : t^N) \in \mathbb{Z}^{N+1}\};$$

où $\mathbb{P}^N \times \mathbb{P}^1 \rightarrow \mathbb{P}^N$ désigne l'inclusion $(x_0 : \dots : x_N) \mapsto ((0 : 1); (x_0 : \dots : x_N))$. Autrement dit, $\text{init}(X)$ est le cycle limite $\lim_{t \rightarrow 1} X_t$ de X sous l'action λ . C'est un cycle de norme 1 et de degré $e(X)$.

On montre au § IV que lorsque $t \in \mathbb{Z}^{N+1}$, le poids de Chow relatif ω_t s'interprète comme un bi-degré d'une variante de la déformation torique ci-dessus et se comporte donc comme une hauteur. Comme conséquence de cette interprétation, on démontre un théorème de Bezout pour le poids de Chow du cycle intersection $X \cdot H$, qui précise la minoration obtenue par Ferretti [Fer03, Prop. 4.3].

Theorem 0.2. | Soit $X \subset \mathbb{P}^N$ une variété projective et $H \in \text{Div}(\mathbb{P}^N)$ un diviseur ne contenant pas X , alors pour $t \in \mathbb{Z}^{N+1}$ on a

$$e(X \cdot H) = e(X) \deg(H) + e(H) \deg(X) - \sum_{Y \in \text{Irr}(\text{init}(X))} m(X \cdot H; Y) \deg(Y)$$

où la somme porte sur les composantes irréductibles de $\text{init}(X)$.

En particulier, si H est effectif on a pour tout $t \in \mathbb{Z}^{N+1}$

$$e(X \cdot H) \geq e(X) \deg(H) + e(H) \deg(X) - \sum_{i=0}^n a_i \deg(H) \deg(X);$$

avec égalité si et seulement si les variétés initiales de X et H s'intersectent proprement.

Remarque 0.3. | Lorsque H est effectif, le terme correctif $\sum_{Y \in m(X \cdot H; (Y))} \deg(Y)$ est le degré la partie du cycle intersection $X \cdot H$, contenue dans la variété initiale de X .

Suivant l'attitude générale adoptée dans ce texte nous écrivons également au § VII ce théorème en termes combinatoires pour l'intersection d'une variété torique avec un diviseur monomial. Comme autre application de la formule de la hauteur d'une variété torique, on en déduit dans ce cas un théorème de Bezout exact pour la hauteur normalisée du cycle intersection (voir Corollaire VII.6).

L'étude des points algébriques de petite hauteur (ou petits points) a reçu une attention considérable au cours des dernières années. La taille des petits points dans une variété est quantifiée par ses minimums algébriques successifs.

Soit $X \subset \mathbb{P}^N(\mathbb{Q})$ une variété quasi-projective quelconque, de dimension n . Pour $i = 0, \dots, n$ on pose $b_i(X)$ pour l'ensemble des points de X de hauteur normalisée h majorée par i . Pour $i = 1, \dots, n+1$, le i -ème minimum algébrique de X par rapport à la hauteur normalisée est

$$b_i(X) := \inf \{ \dim(\overline{X(i)}) \mid n - i + 1 \leq \dim(\overline{X(i)}) \leq n \}$$

où $\overline{X(i)}$ désigne l'adhérence de Zariski de $X(i)$. On écrit $b^{\text{ess}}(X) := b_1(X)$ et $b^{\text{abs}}(X) := b_{n+1}(X)$ pour les minimums essentiel et absolu respectivement; on a $b_1(X) \leq \dots \leq b_{n+1}(X) = 0$.

La répartition de la hauteur des points algébriques d'une variété projective fermée X est en relation avec sa hauteur, le lien est donné par le théorème des minimums successifs [Zha95, Thm. 5.2 et Lem. 6.5]:

$$(1) \quad b_1(X) + \dots + b_{n+1}(X) = \frac{h(X)}{\deg(X)} + (n+1)b_1(X)$$

Comme application de la formule pour la hauteur d'une variété torique de [PS04], on construit au § 6 des exemples montrant que toute configuration possible des minimums successifs est arbitrairement approchable et que le quotient $h(X)/\deg(X)$ peut atteindre n'importe quelle valeur dans l'intervalle autorisé par l'encadrement ci-dessus:

Théorème 0.4. | Soient $n; N \geq 2N$ tels que $N \geq 3n+1$ et $0 < \mu_1 < \dots < \mu_{n+1} < 2R$ tels que $\mu_1 \leq \mu_{n+1} \leq 0$ et $\mu_1 + \dots + \mu_{n+1} < (n+1)\mu_1$:

Alors pour $0 < \mu_1 \leq (n+1)\mu_1$, $\mu_2 > 0$ arbitraires, il existe une variété torique $X \subset \mathbb{P}^N$ de dimension n telle que

$$0 < \mu_i \leq b_i(X) \leq \mu_1 \text{ pour } i = 1, \dots, n+1 \text{ et } \frac{h(X)}{\deg(X)} < \mu_2$$

De plus, la variété X peut être choisie de degré $(4n^2 \mu_2^{-1})^n$ et de lieu sur une extension kummerienne $K = \mathbb{Q}(\sqrt[n]{c})$ de degré $\log(2) \mu_1^{-1} c + 1$.

Les exemples construits présentent une codimension minimale $N - n = 2n + 1$ de l'ordre de la dimension de la variété produite. La question se pose donc de savoir ce qu'il en est pour les variétés de petite codimension (cf. Proposition VI.3).

Pour faciliter la lecture, nous avons tressé dans le texte plusieurs paragraphes d'introduction aux variétés toriques (§ I), aux poids de Chow (§ IV) et à la théorie de l'intersection multi-projective (§ I). Les paragraphes § II à § VI doivent pouvoir être lus de manière essentiellement indépendante. Dans les paragraphes I à IV nous prenons un corps de base K algébriquement

quelconque ou \mathbb{C} pour le § III. L'arithmétique apparaît à partir de la fin du § IV, où nous posons nos conventions sur les places et valeurs absolues des corps de nombres (Convention IV.4).

Plan de l'article

Introduction et résultats 1
 I. Généralités sur les variétés toriques projectives 5
 II. Equations et indices d'obstruction successifs 10
 III. Volum es, hauteurs d'espaces tangents et degres 16
 IV. Un theorem e de Bezout pour les poids de Chow 18
 V. Hauteur normalisée 22
 VI. Optim alité du theorem e des m inim um s algebriques successifs 26
 VII. Poids de Chow et hauteur des diviseurs m onom iaux 31
 Références 39

I. Généralités sur les variétés toriques projectives

On note $G_m^n := (\mathbb{K}^*)^n$ le tore algébrique et P^N l'espace projectif sur \mathbb{K} , de dimension n et N respectivement. Une variété est toujours supposée réduite et irréductible. Pour une famille de polynômes homogènes $f_1; \dots; f_s \in \mathbb{K}[x_0; \dots; x_N]$ on pose $Z(f_1; \dots; f_s) \subset P^N$ l'ensemble de ses zéros communs. Réciproquement, pour un ensemble algébrique $Z \subset P^N$ on pose $I(Z)$ son idéal de définition dans $\mathbb{K}[x_0; \dots; x_N]$.

On note \mathbb{R}_+ et $\mathbb{R}_{>0}$ les ensembles des nombres réels non-négatifs et positifs, respectivement. On note encore \mathbb{N} et \mathbb{N}^* les entiers naturels avec et sans 0, respectivement. Pour $N \geq 2$; $D \subset \mathbb{N}$ on pose $N_D^{N+1} := \{a \in \mathbb{N}^{N+1} : a_0 + \dots + a_N \in D\}$.

Dans ce paragraphe on donne un bref aperçu des propriétés géométriques des variétés toriques. Pour plus de détails, on renvoie le lecteur à [KZ94], [Fu93], [Ewa96], [Cox01].

Soit $A = (a_0; \dots; a_N) \in \mathbb{Z}^{N+1}$ une suite de $N + 1$ vecteurs de \mathbb{Z}^n , on considère l'action diagonale de G_m^n sur P^N

$$A : G_m^n \times P^N \rightarrow P^N ; (s; x) \mapsto (s^{a_0} x_0 : \dots : s^{a_N} x_N) :$$

On s'intéressera à l'adhérence de Zariski des orbites de cette action; pour un point $x = (x_0 : \dots : x_N) \in P^N$ on pose

$$X_{A; x} := \overline{G_m^n \cdot A} \subset P^N$$

la variété torique projective associée au couple $(A; x)$. Autrement-dit, $X_{A; x}$ est l'adhérence de Zariski de l'image de l'application monomiale

$$\nu_{A; x} : G_m^n \times P^N \rightarrow P^N ; (s; x) \mapsto (s^{a_0} x_0 : \dots : s^{a_N} x_N) :$$

C'est une variété torique projective au sens de [KZ94], c'est-à-dire une sous-variété de P^N stable sous l'action d'un tore G_m^n , avec une orbite dense $X_{A; x} = \overline{G_m^n \cdot A}$.

Lorsque le point x est contenu dans un des sous-espaces standard de P^N , la sous-variété $X_{A; x}$ toute entière reste dans cet espace, puisque l'action $\nu_{A; x}$ est diagonale. Quitte à se restreindre au sous-espace standard minimal contenant x , on peut supposer sans perte de

généralité $\mathbb{P}^N \times \mathbb{P}^N \rightarrow \mathbb{P}^N$ et on se donne des coordonnées $(x_0, \dots, x_N) \in (\mathbb{K})^{N+1}$.

On notera X_A la variété torique associée à $A \in \mathbb{Z}^{N+1}$ et $(1; \dots; 1) \in (\mathbb{K})^{N+1}$. Dans ce cas, l'orbite principale X_A est un sous-tore du tore $G_m^{N+1} = (\mathbb{P}^N)$ et en fait tous les sous-groupes connexes de (\mathbb{P}^N) sont de cette forme. Dans le cas général

$$X_{A; \lambda} = \lambda X_A$$

où λ désigne la multiplication dans (\mathbb{P}^N) , c'est-à-dire que l'orbite principale de $X_{A; \lambda}$ est le translate d'un sous-tore.

Le couple $(A; \lambda)$ peut s'interpréter comme une suite finie de monômes $s_0^{a_0}; \dots; s_N^{a_N}$ de l'anneau des polynômes de Laurent $\mathbb{K}[s_1^{-1}; \dots; s_N^{-1}]$, on dit que les a_i sont les exposants et les s_i les coefficients. Le support

$$\text{Supp}(A) = \{a_{i_0}; \dots; a_{i_M}\} \subset \mathbb{Z}^n$$

est l'ensemble des exposants distincts dans A . Les variétés $X_{A; \lambda}$ et $X_{\text{Supp}(A)}$ sont linéairement isomorphes par l'application

$$\mathbb{P}^N \rightarrow \mathbb{P}^M; \quad (x_0 : \dots : x_N) \mapsto (x_{i_0} : \dots : x_{i_M})$$

et donc leurs propriétés géométriques sont les mêmes. Pour ces propriétés, on peut donc se ramener au cas habituel où les a_i sont tous distincts et $s_i = 1$ pour tout i . Soit $L_A \subset \mathbb{Z}^n$ le sous-module engendré par les différences des vecteurs $a_0; \dots; a_N$, on a par exemple

$$\dim(X_{A; \lambda}) = \text{rang}_{\mathbb{Z}}(L_{\text{Supp}(A)}) = \text{rang}_{\mathbb{Z}}(L_A)$$

On introduit encore le polytope $Q_A \subset \mathbb{R}^n$ enveloppe convexe des vecteurs $a_0; \dots; a_N$.

Lemme I.1. | Soient $A = \{a_0; \dots; a_N\}$ et $B = \{b_0; \dots; b_M\} \subset \mathbb{Z}^n$ des ensembles de cardinal $N+1$ et $M+1$ respectivement, avec $N \geq M$. Posons $\pi : \mathbb{P}^M \rightarrow \mathbb{P}^N$ la projection linéaire standard $(y_0 : \dots : y_M) \mapsto (y_0 : \dots : y_N)$ on a

- (a) si $A \subset B$ alors $X_A = \pi^{-1}(X_B)$;
- (b) si $Q_A = Q_B$ alors π est un morphisme régulier et fini (au sens des fibres), de degré $\deg(\pi) = [L_B : L_A]$. Si de plus $L_A = L_B$ alors π est un isomorphisme entre X_B et X_A ;
- (c) si $Q_A = Q_B = Q$ et si pour toute face F de Q on a $L_{A \setminus F} = L_{B \setminus F}$, alors $\pi : X_B \rightarrow X_A$ est un isomorphisme.

Démonstration. | La partie (a) est conséquence directe des définitions. Pour les parties (b) et (c), l'hypothèse $Q_A = Q_B = Q$ entraîne que la projection π est compatible avec la décomposition en orbites (I.3) ci-dessous. Pour chaque face F de Q , $\pi : X_{B \setminus F} \rightarrow X_{A \setminus F}$ est une application morphologique de degré $[L_{B \setminus F} : L_{A \setminus F}] = [L_{B \setminus F} : L_{A \setminus F}]$, en particulier on voit que π est régulière à fibres finies (et de degré 1 entre X_A et X_B si $L_A = L_B$).

Dans (c), l'hypothèse $L_{B \setminus F} = L_{A \setminus F}$ entraîne déjà que π est une bijection. Pour chaque exposant $b_i \in B$ considérons la face F de Q de dimension minimale contenant b_i . On écrit alors $b_i = \sum_{j: a_j \in A \setminus F} \lambda_j a_j$ avec $\lambda_j \in \mathbb{Z}$, $\sum_j \lambda_j = 0$. L'inverse est alors $X_A \rightarrow X_B$, $(x^0 : \dots : x^N) \mapsto (x^0 : \dots : x^M)$. □

Suivant la philosophie générale, les propriétés géométriques des variétés toriques se traduisent en des énoncés combinatoires sur les vecteurs $a_0; \dots; a_N \in \mathbb{Z}^n$ de l'action. En ce qui concerne la théorie de l'intersection géométrique de ces variétés, le résultat le plus fondamental est que le degré s'identifie au volume du polytope Q_A .

Le sous-module L_A est un réseau de l'espace linéaire $L_A \subset \mathbb{R}^n$; on considère la forme volumé v_A sur cet espace linéaire, invariante par translations et normalisée de sorte que

$$v_A(L_A \subset \mathbb{R}^n) = 1 ;$$

autrement-dit, de sorte que le volume d'un domaine fondamental soit 1. Soit $r = \text{rang}_Z(L_A)$, le degré de X_A ; s'explique comme $r!$ fois le volume normalisé du polytope associé [GKZ 94, § I.6, Thm. 2.3], [Fu193, p. 111]

$$\deg(X_A) = r! v_A(Q_A) :$$

Soit maintenant $f: \mathbb{Z}^r \rightarrow \mathbb{Z}^n$ une application linéaire injective telle que $\text{Im}(f) = L_A$ et posons $b_i = f^{-1}(a_i) \in \mathbb{Z}^r$ puis $B = (b_0; \dots; b_n) \in (\mathbb{Z}^r)^{n+1}$, alors $X_B = X_A$; [GKZ 94, Ch. 5, Prop. 1.2], et ainsi on peut toujours supposer sans perte de généralité $L_A = \mathbb{Z}^n$. Dans cette situation, la forme volumé v_A coïncide avec la forme volumé euclidienne Vol_n sur \mathbb{R}^n et donc

$$(I.1) \quad \dim(X_A) = n ; \quad \deg(X_A) = n! \text{Vol}_n(Q_A) :$$

Plus généralement, les multidegrees du tore G_m^n plonge dans un produit d'espaces projectifs via plusieurs applications monomiales s'expriment comme volumes mixtes des polytopes associés à ces applications. Nous explicitons cela maintenant.

Soit $Z \subset \mathbb{P}^{N_0} \times \dots \times \mathbb{P}^{N_m}$ une sous-variété de dimension n et $c = (c_0; \dots; c_m) \in \mathbb{N}^{m+1}$ avec $0 \leq c_i \leq N_i$, le multidegré de Z d'indice c est de la forme

$$\deg_c(Z) = \text{Card} X \setminus \bigcup_{i=0}^m E_i$$

où π_i désigne la projection $\mathbb{P}^{N_0} \times \dots \times \mathbb{P}^{N_m} \rightarrow \mathbb{P}^{N_i}$ et E_i est un sous-espace linéaire générique de \mathbb{P}^{N_i} de codimension c_i .

Pour $i = 0; \dots; m$ on fixe un groupe $x_i = \{x_{i,0}; \dots; x_{i,N_i}\}$ de $N_i + 1$ variables chacun et on considère l'anneau $K[x_0; \dots; x_m]$, multigradué par $\deg(x_{i,j}) = e_i$ ou $e_0; \dots; e_m \in \mathbb{Z}^{m+1}$ désignent les vecteurs de la base standard. Ainsi $I(Z) \subset K[x_0; \dots; x_m]$ est un idéal multihomogène de rang $N_0 + \dots + N_m - n$. Soient $d_0; \dots; d_m \in \mathbb{N}^{m+1}$; pour chaque $d_i \in \mathbb{N}^{m+1}$ on introduit un groupe de variables $U_i = \{U_{i,0}; \dots; U_{i,M_i}\}$, $M_i + 1 = \sum_{j=0}^m d_j + N_j$, et on considère la forme résultante d'indice $d_0; \dots; d_m$ de $I(Z)$:

$$\text{res}_{d_0; \dots; d_m}(I(Z)) \in K[U_0; \dots; U_m] :$$

On renvoie le lecteur à [Rem 01a, § 3] ou encore à [PS04, § I.2] pour la définition et propriétés de base des formes résultantes. Maintenant, à un vecteur $c = (c_0; \dots; c_m) \in \mathbb{N}^{m+1}$ comme ci-dessus on associe l'indice partiel

$$d(c) = \underbrace{(e_0; \dots; e_0)}_{c_0 \text{ fois}}; \dots; \underbrace{(e_m; \dots; e_m)}_{c_m \text{ fois}} \in (\mathbb{N}^{m+1})^n ;$$

où $e_0; \dots; e_m$ désignent les vecteurs de la base standard de \mathbb{R}^{m+1} . Pour tout choix de $d_0 \in \mathbb{N}^{m+1}$ on a [Rem 01a, Prop. 3.4 et 2.11]

$$\deg_c(Z) = \deg_{U_0}(\text{res}_{d_0, d(c)}(I(Z))) :$$

Soit encore $D = (D_0; \dots; D_m) \in \mathbb{N}^{m+1}$ et considérons

$$D : \mathbb{P}^{N_0} \times \dots \times \mathbb{P}^{N_m} \rightarrow \mathbb{P}^{\binom{D_0+N_0}{N_0}} \times \dots \times \mathbb{P}^{\binom{D_m+N_m}{N_m}} \\ (x_0; \dots; x_m) \quad 7! \quad x_0^{b_0} \quad \dots \quad x_m^{b_m} \quad b_0 \in \mathbb{N}^{D_0+1}; \dots; b_m \in \mathbb{N}^{D_m+1}$$

le plongement mixte associé (composition des plongements de Veronese et Segre), on sait que [Rem 01b, § 2.3]

$$(I2) \quad \deg(\pi_D(Z)) = \sum_{c \in \mathbb{N}_n^{m+1}} \binom{n}{c} \deg_c(Z) D^c :$$

Considérons maintenant des ensembles convexes $Q_1, \dots, Q_n \subset \mathbb{R}^n$, leur volume mixte (ou multi-volume) est défini par la formule de type inclusion-exclusion

$$MV(Q_1, \dots, Q_n) = \sum_{j=1}^n \binom{n}{j} \sum_{1 \leq i_1 < \dots < i_j \leq n} \text{Vol}_n(Q_{i_1} + \dots + Q_{i_j}) :$$

Cette notion généralise le volume d'un ensemble convexe car $MV(Q, \dots, Q) = n! \text{Vol}_n(Q)$. Le volume mixte est positif ou nul, symétrique et linéaire en chaque variable Q_i par rapport à la somme de Minkowski. On renvoie à [CLO 98, § 7.4] ou [Ewa 96] pour ses propriétés de base.

Interprétons ces notions dans le cas torique: soient $A_0 \subset (\mathbb{Z}^n)^{N_0+1}, \dots, A_m \subset (\mathbb{Z}^n)^{N_m+1}$ tels que $L_{A_0} + \dots + L_{A_m} = \mathbb{Z}^n$. Posons $\underline{A} = (A_0, \dots, A_m)$ et considérons l'action associée \underline{A} de G_m^n sur le produit d'espaces projectifs $P^{N_0} \times \dots \times P^{N_m}$:

$$\underline{A} : G_m^n \times P^{N_0} \times \dots \times P^{N_m} \dashrightarrow P^{N_0} \times \dots \times P^{N_m} : (s; x_0; \dots; x_m) \mapsto (s_{A_0} x_0; \dots; s_{A_m} x_m) :$$

On considère la variété torique multiprojective $X_{\underline{A}} \subset P^{N_0} \times \dots \times P^{N_m}$, adhérence de Zariski de l'orbite du point $((1 : \dots : 1); \dots; (1 : \dots : 1))$, et plus généralement on pose pour l'adhérence de l'orbite de $\underline{a} = (a_0; \dots; a_m) \in P^{N_0} \times \dots \times P^{N_m}$.

Proposition I.2. | Soit $c \in \mathbb{N}_n^{m+1}$, dans la situation ci-dessus on a

$$\deg_c(X_{\underline{A}}) = MV_n(\underbrace{Q_{A_0}}_{c_0 \text{ fois}}, \dots, \underbrace{Q_{A_m}}_{c_m \text{ fois}}) :$$

Démonstration. | Pour $D = (D_0, \dots, D_m) \in (\mathbb{N})^{m+1}$ on pose $D_{\underline{A}} = D_0 A_0 + \dots + D_m A_m$ l'ensemble des sommes de D_i éléments pris dans A_i pour $i = 0, \dots, m$ et $Q_{D_{\underline{A}}} = D_0 Q_{A_0} + \dots + D_m Q_{A_m}$ l'enveloppe convexe de $D_{\underline{A}}$. On vérifie $\pi_D(X_{\underline{A}}) = X_{D_{\underline{A}}}$, et par la multilinearité du volume mixte

$$n \text{Vol}_n(Q_{D_{\underline{A}}}) = \sum_{c \in \mathbb{N}_n^{m+1}} \binom{n}{c} MV_n(\underbrace{Q_{A_0}}_{c_0 \text{ fois}}, \dots, \underbrace{Q_{A_m}}_{c_m \text{ fois}}) D^c :$$

On a $\deg(\pi_D(X_{\underline{A}})) = n \text{Vol}_n(Q_{D_{\underline{A}}})$ pour tout D et la comparaison de l'identité ci-dessus avec (I2) permet de conclure. \square

Les orbites de l'action \underline{A} sur $X_{\underline{A}}$ sont en correspondance avec l'ensemble $F(Q_{\underline{A}})$ des faces du polytope $Q_{\underline{A}}$. Pour chaque face P on associe un point $\underline{p} = (p; 0 : \dots : p; N) \in P^N$ de manière $p_j = j$ si $a_j \in P$ et $p_j = 0$ sinon; la bijection est donnée par [GKZ 94, Ch. 5, Prop. 1.9], [Fu 93, § 3.1]

$$P \in F(X_{\underline{A}}; \underline{p}) \iff G_m^n \times A_P \subset P^N :$$

On a la décomposition

$$(I3) \quad X_{\underline{A}} = \bigsqcup_{P \in F(Q_{\underline{A}})} G_m^n \times A_P :$$

Posons $N(P) = \text{Card} \{i : a_i \geq 1\}$ et

$$A(P) = (a_i : a_i \geq 1) \subset (\mathbb{Z}^n)^{N(P)+1}; \quad (P) = (i : a_i \geq 1) \subset (\mathbb{K})^{N(P)+1};$$

on verra que $X_{A;P} \subset \mathbb{P}^N$ est l'orbite principale d'une variete torique contenue dans un sous-espace standard de dimension $N(P)$. Restreinte a ce sous-espace, elle s'identifie a la sous-variete $X_{A(P);(P)} \subset \mathbb{P}^{N(P)}$, de dimension egale a la dimension (reelle) de la face P .

Plus generalement, soit $X_{\underline{A}} \subset \mathbb{P}^{N_0} \times \dots \times \mathbb{P}^{N_m}$ une variete torique multiprojective et posons $Q_{\underline{A}} = (Q_{A_0}; \dots; Q_{A_m})$ la famille de $m+1$ polytopes associee.

Pour un polytope $Q \subset \mathbb{R}^n$ et un vecteur $b \in \mathbb{R}^n$ on note $Q(b)$ la face de Q de normale b et l'ensemble des points $u \in Q$ maximisant la fonctionnelle lineaire $u \cdot b$; u. Considerons les combinaisons des faces des Q_{A_i} obtenues par cette methode:

$$F(Q_{\underline{A}}) = \{f(Q_{A_0}(b); \dots; Q_{A_m}(b)) : b \in \mathbb{R}^n\} \subset F(Q_{A_0}) \times \dots \times F(Q_{A_m})$$

On peut verifier que l'ensemble des sommes de Minkowski $Q_{A_0}(b) + \dots + Q_{A_m}(b)$ pour $b \in \mathbb{R}^n$, coincide avec l'ensemble des faces de la somme de Minkowski $Q_{A_0} + \dots + Q_{A_m}$.

Soit $\underline{p} = (p_0; \dots; p_m) \in \mathbb{P}^{N_0} \times \dots \times \mathbb{P}^{N_m}$, les orbites de l'action \underline{A} sur $X_{\underline{A};\underline{p}}$ sont en correspondance avec l'ensemble $F(Q_{\underline{A}})$. Pour chaque $\underline{p} = (p_0; \dots; p_m) \in F(Q_{\underline{A}})$ on considere le point $\underline{p} = (p_0; \dots; p_m) \in \mathbb{P}^{N_0} \times \dots \times \mathbb{P}^{N_m}$; la bijection est donnee par

$$\underline{p} \mapsto X_{\underline{A};\underline{p}} = G_m^n \backslash \underline{A} \backslash \underline{p} \subset \mathbb{P}^{N_0} \times \dots \times \mathbb{P}^{N_m};$$

et cette correspondance preserve la dimension, car $\dim(X_{\underline{A};\underline{p}}) = \dim(p_0 + \dots + p_m)$. La demonstration est une legere variante de [GKZ94, Ch. 5, Prop. 1.9].

Classiquement les varietes toriques sont construites a partir d'eventails, voir par exemple [Fu93]. Rappelons qu'un eventail est un ensemble de cones simpliciaux de sommet et l'origine engendres par un nombre fini de points de \mathbb{Z}^n , tels que toute face et toute intersection de cones de l'eventail appartienne encore a l'eventail. Le lien avec notre presentation des varietes toriques via des polytopes resulte de ce qu'un polytope Q a des sommets dans \mathbb{Z}^n determine un eventail et donc aussi une variete torique au sens classique, qui de plus est munie d'un nombre en droites ample. Dans les alinea suivants (tires essentiellement de [Cox01] et [Fu93]) on explicite cette construction.

Supposons sans perte de generalite $\dim(Q) = n$ et posons $F_i(Q)$ l'ensemble des faces de Q de dimension i , de sorte que $F(Q) = \cup_{i=0}^n F_i(Q)$. Pour chaque hyperface (c'est-a-dire face de codimension 1) F de Q on prends le vecteur normal interieur primitif $v_F \in \mathbb{Z}^n$ et on note

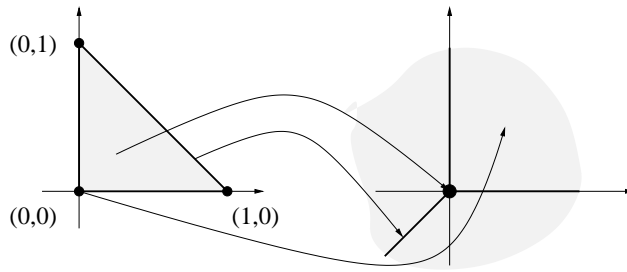
$$m_F = \min \{x \cdot v_F : x \in Q\} \in \mathbb{Z};$$

ou \cdot designe le produit scalaire ordinaire sur \mathbb{R}^n . On peut donc decrire Q comme intersection de demiespaces

$$(I.4) \quad Q = \bigcap_{F \in F_{n-1}(Q)} \{x \in \mathbb{R}^n : x \cdot v_F \geq m_F\};$$

A chaque face P de Q on associe le cone σ_P engendre par les vecteurs v_F correspondant aux hyperfaces $F \subset P$; on a $\dim(P) + \dim(\sigma_P) = n$. L'ensemble de ces cones forme un eventail complet de \mathbb{R}^n , c'est-a-dire un eventail recouvrant \mathbb{R}^n .

La figure suivante montre la correspondance $\underline{p} \mapsto \sigma_P$ entre faces de Q et cones de σ , pour Q le simplexe standard de \mathbb{R}^2 .



Notons X la variété torique (non plongée dans un espace projectif) définie par cet éventail. Pour chaque hyperface F de Q on note D_F le diviseur correspondant à la sous-variété torique de X associée à l'arête F de Q et on introduit un diviseur de Weil sur X invariant sous l'action de G_m^n

$$D_Q := \sum_{F \in F_{n-1}(Q)} m_F D_F ;$$

qui est en fait un diviseur de Cartier ample [Ful93, § 3.4]. Pour $a \in \mathbb{Z}^n$, l'application monomiale $s^a : G_m^n \rightarrow G_m$; $s \mapsto s^a$ peut se voir comme une fonction rationnelle sur X . Cette fonction rationnelle s'étend en une section globale de $\mathcal{O}(D_Q)$ si et seulement si $a \in Q$, et en fait

$$H^0(X; \mathcal{O}(D_Q)) = \bigoplus_{a \in 2Q \setminus \mathbb{Z}^n} K[s^a] ;$$

En posant naturellement $A_Q := Q \setminus \mathbb{Z}^n = \{a_0, \dots, a_N\}$, on vérifie que l'application $G_m^n \rightarrow \mathbb{P}^N$; $s \mapsto (s^{a_0}, \dots, s^{a_N})$ s'étend en un morphisme régulier $X \rightarrow \mathbb{P}^N$, dont l'image est la variété torique projective X_{A_Q} . De fait, ceci est le morphisme de normalisation de X_{A_Q} [Stu96, Cor. 13.6].

Cependant, notons que la notion d'éventail permet de définir des variétés toriques qui, même complètes, n'admettent pas nécessairement de diviseur G_m^n -invariant ample. Toutefois, lorsqu'une variété torique abstraite possède un tel diviseur, elle admet une application monomiale régulière vers un espace projectif et son image est une variété torique projective du type que nous étudions ici. On notera encore que les variétés toriques abstraites sont des variétés normales, voir [Ful93, § 2.1, p. 29], ce qui n'est pas toujours le cas pour les variétés toriques projectives.

II. Equations et indices d'obstruction successifs

Soit $X \subset \mathbb{P}^N$ une variété projective de dimension $n \geq 0$ et $I(X) \subset K[x_0, \dots, x_N]$ son idéal de définition, l'indice d'obstruction $!_i(X)$ est défini comme le plus petit degré d'une équation homogène $f \in I(X) \setminus \{0\}$. Plus généralement, pour $i = 1, \dots, N-n$ on définit le i -ème indice d'obstruction de X par

$$!_i(X) := \min_{D \in \mathbb{N}^n : \dim(Z(f : f \in I(X)_D)) \geq N - i} ;$$

où $I(X)_D$ désigne la partie de degré D de l'idéal homogène $I(X)$. Alternativement, $!_i(X)$ est le plus petit entier $D \geq 0$ tel qu'il existe des polynômes homogènes $f_1, \dots, f_i \in I(X)$ de degré borné par D formant une intersection complète. Evidemment $!_i(X) = !_1(X)$ et

$$!_1(X) \leq \dots \leq !_N(X) ;$$

L'invariant $!_i(X)$ joue un rôle important dans les problèmes de Lehmer généralisés et de Bogomolov sur les tores [Dav03], [AD04], [Rat04]. D'un autre côté, les lemmes de zéros

consistent à minorer le premier indice $I(X)$ pour une variété de dimension 0, éventuellement munie de multiplicités; ces résultats sont des outils fondamentaux en théorie des nombres transcendants, voir [Ber87]. Signalons que pour ces applications, il est souvent important de considérer des indices d'obstruction sur des sous-corps de $\overline{\mathbb{Q}}$ (i.e. dont les équations sont coefficients dans un sous-corps fixe) et pour des schémas projectifs quelconques.

Plus généralement encore, on peut considérer des indices d'obstruction successifs relatifs à un ouvert donné $U \subset \mathbb{P}^N$:

$$I_i(X; U) = \min_{D \subset \mathbb{P}^N : \dim(Z(f : f \in I(X)_D) \setminus U) \leq i} :$$

Les idéaux des variétés toriques sont binomiaux, c'est-à-dire engendrés par des familles de polynômes de la forme $x^a - x^b$ avec $a, b \in \mathbb{N}^n$ et $a, b \in K$. Dans la suite on explicite la relation entre variétés toriques et idéaux binomiaux, qui est la clé de notre étude des indices d'obstruction successifs de ces variétés.

Soit $A = (a_0; \dots; a_N) \in \mathbb{Z}^{N+1}$ tel que $L_A = \mathbb{Z}^n$ et $A = (a_0; \dots; a_N) \in (\mathbb{K})^{N+1}$. Considérons l'application linéaire

$$\pi_A : \mathbb{Z}^{N+1} \rightarrow \mathbb{Z} \oplus \mathbb{Z}^n ; \quad (s_0; \dots; s_N) \mapsto (s_0 + \sum_{i=1}^N a_i s_i; s_1; \dots; s_N)$$

et posons $\pi_A^{-1}(0) = \ker(\pi_A)$ son noyau. C'est un sous-module saturé de \mathbb{Z}^{N+1} (c'est-à-dire que le quotient $\mathbb{Z}^{N+1} / \pi_A^{-1}(0)$ est sans torsion) de rang $N - n$. Notons $H_A \subset \mathbb{P}^{N+1}$ l'hyperplan d'équation $s_0 + \sum_{i=1}^N a_i s_i = 0$ et posons $Z = \pi_A^{-1}(0) \cap H_A$; évidemment on a $Z \subset \mathbb{P}^{N+1}$.

Pour $b \in \mathbb{R}^{N+1}$ on écrit de façon unique $b = b_+ - b_-$ avec $b_+, b_- \in \mathbb{R}_+^{N+1}$ à supports disjoints, c'est-à-dire $(b_+)_i = b_i$ si $b_i > 0$ et 0 sinon, et $(b_-)_i = -b_i$ si $b_i < 0$ et 0 sinon. Le résultat suivant est une reformulation de [Stu96, Cor. 4.3]:

Proposition II.1. $I(X_{A;}) = (x^{b_+} - x^{b_-} : b \in \mathbb{R}^{N+1})$.

Démonstration. Le cône de $X_{A;}$ coïncide avec l'adhérence de Zariski de l'image de

$$G_m^n \times G_m \rightarrow \mathbb{A}^{N+1} ; \quad (s_1; \dots; s_n; t) \mapsto (t s^{a_0}; \dots; t s^{a_N}) ;$$

donc $I(X_{A;})$ coïncide avec le noyau de l'homomorphisme

$$K[x_0; \dots; x_N] \rightarrow K[s_1^{-1}; \dots; s_n^{-1}; t^{-1}] ; \quad x_i \mapsto t s_i^{a_i} ;$$

le résultat devient une conséquence directe de [Stu96, Cor. 4.3]. □

Ainsi, l'idéal d'une variété torique projective est binomial, il en résulte automatiquement que c'est un idéal premier et homogène (puisque $X_{A;}$ est une variété projective) ne contenant aucune des variables x_i , à cause de l'hypothèse $2 \in \mathbb{P}^N$.

Soit maintenant $Z \subset \mathbb{P}^{N+1}$ un sous-module quelconque et χ un caractère partiel, c'est-à-dire un homomorphisme $\chi : \mathbb{Z} \rightarrow \mathbb{K}^*$. Ces données définissent un idéal binomial

$$I(\chi; Z) = (x^{b_+} - \chi(b_-) x^{b_-} : b \in \mathbb{Z}^{N+1}) \subset K[x_0; \dots; x_N] :$$

Proposition II.2. ([ES96, Cor. 2.6]) La correspondance

$$(\chi; Z) \mapsto I(\chi; Z)$$

est une bijection entre les sous-modules saturés $Z \subset \mathbb{P}^{N+1}$ munis d'un caractère partiel χ , et les idéaux de $K[x_0; \dots; x_N]$ binomiaux, premiers et ne contenant aucune des variables x_i . De plus $\text{rang}_Z(\chi) = \text{rang}(I(\chi; Z))$.

On verifie sans peine que $I(\cdot; \cdot)$ est homogene si et seulement si \mathbb{Z} . Ainsi, la donnee d'un couple $(A; \cdot)$ de nit un sous-module saturé $A^{\mathbb{Z}}$ et un caractere partiel $\mathbb{Z}^n \rightarrow \mathbb{C}^*$; la proposition II.1 peut être reformulée sous la forme

$$I(X_A; \cdot) = I(A; A; \cdot):$$

Reciproquement, a partir d'un ideal binomial de $K[x_0; \dots; x_N]$ premier, homogene et ne contenant aucune des variables x_i , on peut construire $(A; \cdot)$ tel que $I = I(X_A; \cdot)$: soient \mathbb{Z} le sous-module saturé et le caractere partiel associés a I , $n = N - \text{rang}_{\mathbb{Z}}(\cdot)$ et prenons $v_0; \dots; v_n \in \mathbb{Z}^{N+1}$ une base de l'orthogonal \perp de \cdot dans \mathbb{Z}^{N+1} relativement au produit scalaire usuel. Puisque \mathbb{Z} on peut supposer sans perte de generalite $v_0 = (1; \dots; 1)$; on pose alors

$$a_i = (v_{1,i}; \dots; v_{n,i}) \in \mathbb{Z}^n \quad \text{pour } i = 0; \dots; N;$$

et $A = (a_0; \dots; a_N) \in (\mathbb{Z}^n)^{N+1}$. En outre, \cdot peut s'etendre (de maniere pas forcément unique) en un caractere total $\mathbb{Z}^{N+1} \rightarrow K^*$ et on prend $\cdot = (\epsilon_0; \dots; \epsilon_N) \in (K^*)^{N+1}$ ou les ϵ_i designent les vecteurs de la base standard de \mathbb{Z}^{N+1} .

Par construction $A = \cdot$ et $L_A = \mathbb{Z}^n$, parce que $v_0; \dots; v_n$ est une base de \perp et \cdot est saturé. La proposition II.1 entraîne $I(X_A; \cdot) = I$. En particulier, on en deduit que la correspondance $X \mapsto I(X)$ est une bijection entre l'ensemble des varietes toriques de \mathbb{P}^N et l'ensemble des ideaux de $K[x_0; \dots; x_N]$ binomiaux, premiers, homogenes, ne contenant aucune des variables de x_i , $i = 0; \dots; N$. Dans la suite, on notera X et \cdot le \mathbb{Z} -module et le caractere partiel associés a une variete torique donnée X .

Exemple II.3. | Soit

$$G_m^2 \rightarrow \mathbb{P}^3; \quad (s;t) \mapsto (1 : s : 3s^2t : st^2)$$

et posons $S \subset \mathbb{P}^3$ la surface torique, adherence de Zariski de l'image de cette application. Soit

$$[A] = \begin{pmatrix} 2 & 1 & 1 & 1 & 1 \\ 6 & 0 & 1 & 2 & 1 \\ 0 & 0 & 1 & 2 & 5 \end{pmatrix}$$

la matrice de l'application lineaire $A : \mathbb{Z}^4 \rightarrow \mathbb{Z}^3$ dans les bases canoniques, alors $A = \ker([A])$ est engendré par le seul vecteur

$$= (M_0; M_1; M_2; M_3) = (2; 3; 2; 1) \in \mathbb{Z}^4$$

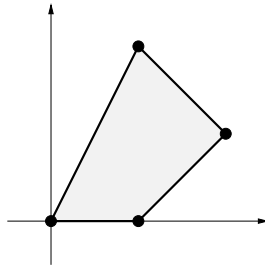
ou M_i designe le i -eme mineur de la matrice $[A]$. Et donc une equation de S est

$$x^+ \quad x^- = x_0^2 x_2^2 - 9 x_1^3 x_3 \in K[x_0; x_1; x_2; x_3]:$$

Reciproquement, partons de l'equation binomiale $f = x_0^2 x_2^2 - 9 x_1^3 x_3 \in K[x_0; x_1; x_2; x_3]$. Le \mathbb{Z} -module saturé \mathbb{Z} correspondant est engendré par $\cdot = (2; 3; 2; 1)$ et le caractere partiel est $\cdot : \mathbb{Z}^4 \rightarrow K^*$.

On verifie que $(1; 1; 1; 1); (0; 1; 2; 1); (0; 0; 1; 2) \in \mathbb{Z}^4$ forment bien une base de \perp et que $\mathbb{Z}^4 \rightarrow K^*$; $\cdot = (1; 1; 3; 1)^b = 3^{2b}$, est une extension possible de \cdot , donc $Z(f) = X_A$; avec $A = ((0; 0); (1; 0); (2; 1); (1; 2)) \in (\mathbb{Z}^2)^4$ et $\cdot = (1; 1; 3; 1) \in (K^*)^4$.

La figure suivante montre les exposants et le polytope associés a cette surface:



Considérons la norme $\|\cdot\|$

$$\|v\| = \sum_{i=0}^N |v_i| \quad \text{pour } v \in \mathbb{R}^{N+1}$$

et pour un \mathbb{Z} -module quelconque $M \subset \mathbb{R}^{N+1}$ notons $\mu_i = \mu_i(M; \|\cdot\|)$ le i -ème minimum successif de M relativement à cette norme. Rappelons que μ_i est de norme le plus petit $\lambda \in \mathbb{R}_+$ tel qu'il existe i vecteurs indépendants $v_1, \dots, v_i \in M$ de norme bornée par λ . Alternativement

$$\mu_i(M; \|\cdot\|) = \inf \{ \lambda \in \mathbb{R}_+ : \text{rang}_{\mathbb{Z}}(M \cap \lambda B_{\|\cdot\|}) \geq i \}$$

où $B_{\|\cdot\|}$ désigne la boule unité pour la norme $\|\cdot\|$. Le résultat suivant montre que les indices d'obstruction d'une variété torique relatifs à l'ouvert $(\mathbb{P}^N)^\circ$ coïncident avec les minima successifs du \mathbb{Z} -module associé :

Proposition II.4. | Soit $X \subset \mathbb{P}^N$ une variété torique de dimension n , alors

$$\mu_i(X; (\mathbb{P}^N)^\circ) = \frac{1}{2} \mu_i(X; \|\cdot\|) \quad \text{pour } i = 1, \dots, n :$$

Démonstration. | On peut se restreindre sans perte de généralité au cas $\mu = (1, \dots, 1)$. Soient $v_1, \dots, v_n \in M$ des vecteurs formant une base de M . D'après [ES96, Thm. 2.1 (b)], $X = X \setminus (\mathbb{P}^N)^\circ$ est une intersection complète découpée par les binômes

$$x^{(v_1)_+} - x^{(v_1)_-}, \dots, x^{(v_n)_+} - x^{(v_n)_-} \in K[x_0, \dots, x_N]$$

et on a $\deg(x^{(v_j)_+} - x^{(v_j)_-}) = \frac{1}{2} \|v_j\|$ (car $\sum_{k=0}^N v_{j,k} = 0$). En prenant v_1, \dots, v_n réalisant les minima successifs du module M on obtient

$$\mu_i(X; (\mathbb{P}^N)^\circ) = \max \{ \deg(x^{(v_j)_+} - x^{(v_j)_-}) : 1 \leq j \leq i \} = \frac{1}{2} \mu_i(M; \|\cdot\|) :$$

Dans l'autre direction, soit $f_1, \dots, f_n \in I(X)$ une suite de polynômes homogènes réalisant les indices d'obstruction successifs de X sur $(\mathbb{P}^N)^\circ$. Par la proposition II.1

$$f_j(x) = \sum_{b \in X} g_{j,b}(x) (x^{b_+} - x^{b_-})$$

pour certains $g_{j,b} \in K[x_0, \dots, x_N]$ et, pour tout $b \in X$ tel que $g_{j,b} \neq 0$, on a

$$(II.5) \quad \deg(f_j) = \deg(g_{j,b}) + \deg(x^{b_+} - x^{b_-}) = \deg(g_{j,b}) + \frac{1}{2} \|b\| - \frac{1}{2} \|b\| :$$

Soit $1 \leq i \leq n$, posons L_i le \mathbb{Z} -module engendré par les $b \in X$ tels que $g_{j,b} \neq 0$ pour un certain $1 \leq j \leq i$. Alors, $f_j \in J_i = (x^{b_+} - x^{b_-} : b \in L_i) \subset K[x_0, \dots, x_N]$ pour $j = 1, \dots, i$ et donc

$$i = \text{rang}(f_1, \dots, f_i) = \text{rang}_{\mathbb{Z}}(L_i)$$

par la proposition II.2 ci-dessus. Ainsi L_i est un sous-module de X de rang au moins i et on peut trouver i vecteurs linéairement indépendants parmi les b_{2-A} tels que $g_{j\beta} \neq 0$ pour un certain $1 \leq j \leq i$. L'un au moins de ces vecteurs est de norme $\|b_{k_1} - i(X; k_1 - k)\|$ et on en déduit avec (II.5)

$$!_i(X; \mathbb{P}^N) = \max_{f_j} \deg(f_j) : j = 1; \dots; i; \leq \frac{1}{2} i(X; j, j) :$$

□

Soit $X \subset \mathbb{P}^N$ une variété de dimension n , comme conséquence directe de sa majoration de la fonction de Hilbert géométrique, Chardin a montré qu'on a toujours

$$!_1(X) \leq N \deg(X)^{\frac{1}{N-n}} ;$$

et aussi $!_2(X)^{\frac{1}{2}} \leq N \deg(X)^{\frac{1}{N-n}}$ [Cha89]. Ulterieurement, Chardin et Philippon ont considéré le problème de l'interpolation algébrique, qui consiste à estimer le degré minimal de sous-variétés

$$X = Y_{N-n} \cup \dots \cup Y \subset \mathbb{P}^N$$

telles que $\text{codim}(Y_j) = j$. Ils ont montré qu'on peut choisir $Y_1; \dots; Y_{N-n}$ comme ci-dessus, satisfaisant [CP99]

$$(II.6) \quad \deg(Y_j)^{\frac{1}{j}} \leq N^{4^{N-1}} \deg(X)^{\frac{1}{N-n}} :$$

L'interpolation algébrique est très proche des problèmes d'estimation des indices d'obstruction successifs. En fait, une reformulation de leur démonstration montre qu'il existe des équations $f_1; \dots; f_{N-n+2} \in I(X)$ formant une intersection complète au voisinage du point générique de X et telles que

$$\deg(X) \leq \deg(f_1) \dots \deg(f_{N-n+2}) + c(N) \deg(X)$$

pour une constante $c(N) > 0$ explicite. Ceci équivaut aux inégalités

$$(II.7) \quad \deg(X) \leq !_1(X; U) \leq N !_n(X; U) + c(N) \deg(X)$$

pour un ouvert $U \subset \mathbb{P}^N$ tel que $X \setminus U \neq \emptyset$. L'interprétation des indices d'obstruction des variétés toriques comme minimums successifs d'un module permet de traduire le deuxième théorème de Minkowski en des estimations pour le produit de ces indices relatifs à l'ouvert (\mathbb{P}^N) :

Corollaire II.5. | Soit $X \subset \mathbb{P}^N$ une variété torique de dimension n , alors

$$\deg(X) \leq !_1(X; \mathbb{P}^N) \leq N !_n(X; \mathbb{P}^N) + c(N; n) \deg(X)$$

avec

$$c(N; n) = \frac{N+1}{n+1}^{\frac{1}{2}} \frac{N+1}{2}^{\frac{N-n}{2}} \left(1 + \frac{N-n}{2} \right) \frac{N+1}{2}^{N-n} :$$

Ceci est la proposition 0.1 dans l'introduction, avec une constante plus précise.

Démonstration. | La première inégalité est conséquence directe du théorème de Bezout; passons à la deuxième. Posons $\mathbb{R}_X = X \subset \mathbb{R}^N$, de sorte que X est un réseau de \mathbb{R}_X . Posons aussi $B = B_{jj} \setminus \mathbb{R}_X$ la boule unité de \mathbb{R}_X par rapport à la restriction de la norme $|\cdot|$. Ceci étant un ensemble convexe et symétrique par rapport à l'origine, le deuxième théorème de Minkowski sur les minimums successifs d'un réseau entraîne

$$\frac{2^{N-n}}{(N-n)!} \leq \frac{\text{Vol}_{N-n}(B)}{\text{Vol}_{N-n}(\mathbb{R}_X)} \prod_{i=1}^{N-n} \lambda_i(X; k_1 - k) \leq 2^{N-n}$$

et donc

$$(II.8) \quad \prod_{i=1}^{N-n} \text{Vol}_{N-n}(\mathbb{P}^N) = \frac{\text{Vol}_{N-n}(\mathbb{R}^N = X)}{\text{Vol}_{N-n}(B)}$$

par la proposition II.4.

Pour conclure, il suffit de majorer le quotient $\text{Vol}_{N-n}(\mathbb{R}^N = X) = \text{Vol}_{N-n}(B)$. Soient $A \in \mathbb{Z}^{(N-n) \times (N-n)}$ et $v \in \mathbb{Z}^{N-n}$ tels que $X = \{x \in \mathbb{R}^N \mid Ax = v\}$. Soient

$$v_i = (a_{0,i}; \dots; a_{N-n,i}) \in \mathbb{Z}^{N-n} \quad \text{pour } i = 0; \dots; n$$

les lignes de la matrice (dans les bases standard) de l'application $A : \mathbb{Z}^{N-n} \rightarrow \mathbb{Z}^{N-n}$. Le module v est l'orthogonal du sous-module $V \subset \mathbb{Z}^{N-n}$ engendré par $v_0; \dots; v_n$. C'est aussi un sous-module saturé à cause de l'hypothèse $L_A = \mathbb{Z}^n$; la formule de Brill-Gordan (voir par exemple [PS04, formule (II.2)]) entraîne alors

$$\text{Vol}_{N-n}(\mathbb{R}^N = X) = \text{Vol}_{n+1}(V^R = V)$$

et par la formule de Cauchy-Binet

$$\text{Vol}_{N-n}(\mathbb{R}^N = X) = \text{Vol}_{n+1}(V^R = V) = \sum_{J \subset \{0, \dots, n\}} \det([A]_J)^2 \quad ;$$

où $[A]_J$ désigne le mineur $(n+1) \times (n+1)$ de la matrice de A dont les colonnes sont indexées par J . Chaque terme $\det([A]_J)$ est $n!$ fois le volume d'un simplexe contenu dans le polytope Q_A ; ainsi on peut majorer cette quantité par

$$\text{Vol}_{N-n}(\mathbb{R}^N = X) \leq \sum_{J \subset \{0, \dots, n\}} (n+1)^{n+1} \text{Vol}_n(Q_A) = (n+1)^{n+1} \deg(X) :$$

En outre, notons que B contient la boule euclidienne de \mathbb{R}^N de rayon $(N+1)^{1/2}$ centrée en l'origine, ainsi

$$\text{Vol}_{N-n}(B) \leq \text{Vol}_{N-n}((N+1)^{1/2} B \cap \mathbb{R}^N) = \frac{(N+1)^{N-n/2}}{(N+1)^{N-n/2}} \frac{1}{1 + \frac{N-n}{2}} :$$

On en déduit

$$\prod_{i=1}^{N-n} \text{Vol}_{N-n}(\mathbb{P}^N) \leq \frac{\text{Vol}_{N-n}(\mathbb{R}^N = X)}{\text{Vol}_{N-n}(B)} \leq \frac{(n+1)^{n+1} \deg(X)}{(N+1)^{N-n/2} \frac{1}{1 + \frac{N-n}{2}}} = \frac{(N+1)^{N-n/2}}{(N-n)!^{1/2}} \sum_{k=0}^{\lfloor \frac{N-n}{2} \rfloor} \frac{(N-n)^k}{2^k} \deg(X) :$$

□

Ce résultat améliore la constante $c(N)$ dans (II.7) pour le cas torique et précise l'ouvert U par rapport auquel les indices peuvent être considérés.

En revenant au cas général d'une variété $X \subset \mathbb{P}^N$ quelconque de dimension n , il est naturel de se demander si l'estimation (II.7) reste valide pour $U = \mathbb{P}^N$. Autrement dit, s'il existe

toujours des polynômes homogènes $f_1; \dots; f_{N-n} \in I(X)$ formant une intersection complète globale et tels que

$$\deg(X) = \deg(f_1) \cdots \deg(f_n) = c(N) \deg(X) :$$

Il serait intéressant de décider cette question déjà sur la classe des variétés toriques. Pour ce faire, on voudrait expliciter les indices $!_i(X; \mathbb{P}^N)$ de manière analogue à la proposition II.4 pour $!_i(X; \mathbb{P}^N)$.

III. Volumes, hauteurs d'espaces tangents et degrés

Dans la définition du § I, les sous-groupes algébriques connexes de G_m^N correspondent aux variétés toriques X_A via l'identification $\rho : G_m^N \rightarrow \mathbb{P}^N$. D'un autre côté, l'ensemble des points complexes d'un sous-groupe algébrique connexe G de G_m^N , de dimension n , est décrit via l'application exponentielle par son espace tangent $TG(\mathbb{C}) \subset \mathbb{C}^N$ à l'origine et son réseau de périodes

$$= TG(\mathbb{C}) \setminus (2i\mathbb{Z})^N ;$$

de rang n sur \mathbb{Z} .

Minuons l'espace tangent à G_m^N en l'origine $TG_m^N(\mathbb{C}) \subset \mathbb{C}^N$ de la structure euclidienne pour laquelle les $2N$ éléments e_i et $2i e_i$ ($i = 1; \dots; N$) forment une base orthonormée.

Soit $A = (a_0; \dots; a_N) \in (\mathbb{Z}^n)^{N+1}$ tel que $L_A = \mathbb{Z}^n$ et $G = \rho^{-1}(X_A)$. Des générateurs de $\rho^{-1}(X_A)$ sont donnés par les vecteurs $2i e_{i-1}; \dots; 2i e_{i-n} \in (2i\mathbb{Z})^N$ ou $i; j = a_{ji} - a_{0,i}$ pour $i = 1; \dots; n$ et $j = 1; \dots; N$. En fait, le \mathbb{Z} -module $\frac{1}{2i}$ est l'orthogonal de la projection par $\rho : \mathbb{R}^{N+1} \rightarrow \mathbb{R}^N; (x_0; x_1; \dots; x_N) \mapsto (x_1; \dots; x_N)$, du \mathbb{Z} -module $L_A \subset \mathbb{Z}^N$, introduit au § II précédent.

Considérons encore l'adhérence de Zariski \overline{G} de G dans la compactification $(\mathbb{P}^1)^N$ de G_m^N , ses multidegrees sont indexés par des multi-indices $c = (c_1; \dots; c_N) \in \mathbb{N}^N$ ou $c_j \geq 0; \forall j$. À toute suite croissante $1 \leq j_1 < \dots < j_n \leq N$ on associe un multi-indice $c(j_1; \dots; j_n)$ de ni par $c(j_1; \dots; j_n)_j = 1$ si $j \in \{j_1; \dots; j_n\}$ et 0 sinon. Indiquons comment on retrouve par ce biais la proposition 4 de [BP88].

Proposition III.1. | Avec les notations ci-dessus, le volume euclidien de la projection de $\rho^{-1}(X_A)$ sur le produit des n facteurs de \mathbb{R}^N indexés par $j_1; \dots; j_n$ est égal à $MV_n(\overline{a_0 a_{j_1}}; \dots; \overline{a_0 a_{j_n}}) = \deg_{c(j_1; \dots; j_n)}(\overline{G})$, où $\overline{a_0 a_j}$ désigne le segment de droite joignant a_0 à a_j dans \mathbb{R}^n .

Démonstration. | En effet, la projection de $\rho^{-1}(X_A)$ considérée est un réseau de $(2i\mathbb{R})^n$ engendré par les vecteurs $(2i e_{i;j_1}; \dots; 2i e_{i;j_n})$ pour $i = 1; \dots; n$. Son volume pour la structure euclidienne usuelle est donc égal à $\prod_{j_1; \dots; j_n} MV_n(\overline{a_0 a_{j_1}}; \dots; \overline{a_0 a_{j_n}})$ ou

$$c(j_1; \dots; j_n) = \det \begin{pmatrix} 2 & \dots & 2 \\ \vdots & & \vdots \\ n & \dots & n \end{pmatrix} \begin{matrix} 1; j_1 & \dots & 1; j_n \\ \vdots & & \vdots \\ n; j_1 & \dots & n; j_n \end{matrix} \frac{1}{2^n} \text{Z} :$$

Finalement, par la formule (I.2) ce multivolume est égal au multidegré $\deg_{c(j_1; \dots; j_n)}(\overline{G})$ correspondant. \square

On notera que les $j_1; \dots; j_n$ introduits dans la démonstration précédente sont des coordonnées grassmanniennes de l'espace tangent $TG(\mathbb{C})$ en l'origine de G dans \mathbb{C}^N . Comme $\rho^{-1}(X_A)$ est un réseau primitif de $TG(\mathbb{C})$ on a

$$\text{ppm}(c(j_1; \dots; j_n) : 1 \leq j_1 < \dots < j_n \leq N) = 1 :$$

L'image de G par le plongement de Segre $s : (\mathbb{P}^1)^N \rightarrow \mathbb{P}^{2^N - 1}$ est décrite par la somme de Minkowski

$$\overline{a_0 a_1} + \overline{a_{j_1} a_{j_2}} \in \mathbb{R}^n ;$$

dont le volume est égal à la somme des volumes mixtes pour toutes les projections du type envisagé dans la proposition III.1. En particulier

$$\begin{aligned} \deg_{\mathbb{P}^{2^N - 1}}(s(G)) &= n \text{Vol}_n(\overline{a_0 a_1} + \overline{a_{j_1} a_{j_2}}) \\ &= n! \sum_{1 \leq j_1 < \dots < j_n \leq N} M V_n(\overline{a_0 a_{j_1}}; \dots; \overline{a_0 a_{j_n}}) \\ &= n! \sum_{1 \leq j_1 < \dots < j_n \leq N} j_{j_1} \dots j_{j_n} : \end{aligned}$$

Ainsi, le degré de $s(G)$ est égal à $n!$ fois la hauteur associée à la norme $\|\cdot\|$ des coordonnées grassmanniennes de son espace tangent dans \mathbb{C}^N .

Si l'on considère la hauteur de Schmidt $h_S(T)$ d'un sous-espace $T \subset \mathbb{Q}^N$ de dimension n la hauteur projective du point qui le représente dans la variété grassmannienne [Sch 91, page 28], on a la formule

$$h_S(T) = \frac{1}{n!} \sum_{1 \leq j_1 < \dots < j_n \leq N} \text{Vol}_n(T \cap \mathbb{Z}^n) = \text{Vol}_n(T \cap (\mathbb{Z}^n)^\mathbb{R}) = \text{Vol}_n(T \cap \mathbb{R}^n) ;$$

car $T \cap \mathbb{Z}^n$ est de dimension n sur \mathbb{Q} et ses coordonnées grassmanniennes j_{j_1}, \dots, j_{j_n} dans \mathbb{Z}^n sont premières entre elles dans leur ensemble. La seconde égalité n'est autre que la formule de Cauchy-Binet déjà utilisée au § II. La troisième égalité s'obtient en identifiant l'hyperplan $T \cap \mathbb{R}^n = \{x \in \mathbb{R}^n \mid \sum_{i=1}^n x_i = 0\}$ avec \mathbb{R}^n par la projection sur les n dernières coordonnées, de sorte que l'image de $T \cap \mathbb{Z}^n$ est \mathbb{Z}^n .

En remarquant que $Q_A = \text{Conv}(a_0; \dots; a_N)$ contient tous les simplexes de sommets pris parmi les a_i et est contenu dans l'union de ces mêmes simplexes ayant a_0 comme sommet, on vérifie facilement (le volume d'un simplexe $\text{Conv}(a_0; a_{i_1}; \dots; a_{i_n})$ est égal à $\frac{1}{n!} j_{i_1} \dots j_{i_n}$)

$$\frac{1}{n!} \sum_{1 \leq j_1 < \dots < j_n \leq N} j_{j_1} \dots j_{j_n} \text{Vol}_n(Q_A) = \frac{1}{n!} \sum_{1 \leq j_1 < \dots < j_n \leq N} j_{j_1} \dots j_{j_n} :$$

D'après la formule (I.1), on sait que $\deg_{\mathbb{P}^N}(\overline{G}) = n \text{Vol}_n(Q_A)$ et en particulier

Proposition III.2. | Pour tout sous-groupe algébrique $G \subset G_m^N$ de dimension n on a

$$n! \deg_{\mathbb{P}^N}(\overline{G}) = \deg_{\mathbb{P}^{2^N - 1}}(s(G)) = n! \sum_{1 \leq j_1 < \dots < j_n \leq N} j_{j_1} \dots j_{j_n} :$$

On pourra comparer avec le résultat analogue pour la hauteur normalisée dans [DP 99, Prop. 2.2].

Si l'on introduit la fonction f_A sur l'enveloppe convexe Q_A des points $A = (a_0; \dots; a_N)$ dans \mathbb{R}^n , à valeur dans \mathbb{N} , de manière par :

$$f_A(u) = \text{Card} \{ (j_1; \dots; j_n) \mid 1 \leq j_1 < \dots < j_n \leq N \text{ et } u \in \text{Conv}(a_0; a_{j_1}; \dots; a_{j_n}) \} ;$$

on vérifie facilement l'égalité

$$\frac{\deg_{\mathbb{P}^{2^N - 1}}(s(G))}{n! \deg_{\mathbb{P}^N}(\overline{G})} = \frac{1}{\text{Vol}_n(Q_A)} \int_{Q_A} f_A(u) du :$$

Exemple III.3. | En considérant des points a_0, \dots, a_N dans Z^n tels que a_{n+1}, \dots, a_N soient très proches de a_0 comparativement à a_1, \dots, a_n (voir figure ci-dessous pour $n = 2$), on a

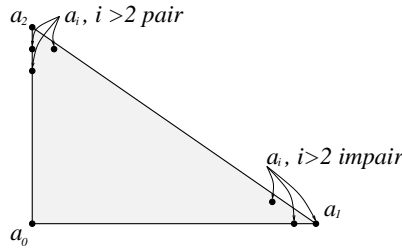
$$\sum_{\substack{J \subset \{1, \dots, n\} \\ |J| < n}} \max_{j \in J} \deg_{P_N}(\overline{G}) = \sum_{j=1}^n \deg_{P_N}(\overline{G})$$

On obtient ainsi une variété torique pour laquelle $n! \deg_{P_N}(\overline{G}) = \deg_{P_{2N-1}}(\overline{G})$, montrant que l'inégalité de gauche dans la proposition III.2 est optimale.

Exemple III.4. | Considérons maintenant $N = mn$ points a_1, \dots, a_N de Z^n également concentrés autour de a_1, \dots, a_n , par exemple $a_{kn+i} = a_i$ à l'intérieur de $\text{Conv}(a_0, a_1, \dots, a_n)$, pour $k = 1, \dots, m-1$ et $i = 1, \dots, n$ (voir figure ci-dessous pour $n = 2$). On a alors

$$\sum_{\substack{J \subset \{1, \dots, n\} \\ |J| < n}} \max_{j \in J} \deg_{P_N}(\overline{G}) = \frac{N}{n} \deg_{P_N}(\overline{G})$$

On obtient ainsi une variété torique pour laquelle $\deg_{P_{2N-1}}(\overline{G}) = n! \frac{N}{n} \deg_{P_N}(\overline{G})$, laissant supposer que l'inégalité de droite dans la proposition III.2 pourrait être améliorée d'un facteur e^n . De fait, lorsque $n = 2$ on vérifie pour toute configuration A de points et tout $u \in \mathbb{Q}_A$ la majoration $f_A(u) \leq \frac{N}{2} u^2$, d'où $\deg_{P_{2N-1}}(\overline{G}) \leq 2 \frac{N}{2} \deg_{P_N}(\overline{G})$, qui est optimale.



IV. Un théorème de Bezout pour les poids de Chow

Soit $X \subset \mathbb{P}^N$ et $\mathbf{e} = (e_0, \dots, e_N) \in \mathbb{R}^{N+1}$, rappelons que $e(X) \in \mathbb{R}$ désigne le poids de Chow de X défini dans l'introduction.

Pour $\mathbf{e} \in \mathbb{R}^+$ on a $e(\mathbf{e}) = e(X)$. De même, on vérifie facilement que pour $\mathbf{e}^0 \in \mathbb{R}^+$ on a $e_{\mathbf{e}^0}(\mathbf{e}) = e(X) + \mathbf{e}^0 \cdot (n+1) \deg(X)$. On vérifie encore que si $\mathbf{e} : \mathbb{P}^N \rightarrow \mathbb{P}^M$, $M+1 = \binom{N+1}{n}$, désigne le plongement de Veronese de degré n et $\mathbf{e}^{(n)}$ le vecteur des poids des monômes de degrés n , on a $e_{\mathbf{e}^{(n)}}(\mathbf{e}) = \binom{N+1}{n} e(X)$. Plus profonde est l'expression de $e(\mathbf{e})$ comme coefficient dominant d'une fonction poids de Hilbert donnée par Mumford [Mum 77, Prop. 2.11] :

$$s(X; \mathbf{e}; D) = \max_{\substack{J \subset \{0, \dots, N\} \\ |J| = 2J}} \sum_{j \in J} \mathbf{e}_j = \frac{e(X)}{(n+1)!} D^{n+1} + O(D^n);$$

où le maximum porte sur tous les ensembles J d'éléments de \mathbb{N}_D^{N+1} tels que les monômes associés induisent une base de la partie graduée de degré D de l'anneau de la variété X .

Exemple IV .1. | Si H est une hypersurface de P^N d'équation $f \in K[x_0, \dots, x_N]$ et $\sum_{i=0}^N w_i = 2N+1$, on a

$$e(H) = \sum_{i=0}^N w_i \deg(H) = w_t(f)$$

ou $(f) = f(t^0 x_0, \dots, t^N x_N)$ et w_t désigne la valuation t -adique.

Lorsque $\sum_{i=0}^N w_i = 2N+1$ le poids de Chow peut s'interpréter en termes de bidegré de la déformation torique $X \rightarrow P^1 \times P^N$ de X relative à \mathbb{A}^1 . Une forme résultante d'indice $(1; n+1)$ de X s'écrit

$$v_1^{e(X)} v_0^{e(X)} \text{Ch}_X(\dots; (v_0=v_1) u_{ij}; \dots);$$

son degré en $(v_0; v_1)$ est $e(X) + e(X)$ d'après la définition du poids de Chow et c'est par ailleurs le bidegré $\deg_{(0; m+1)}(X)$, d'où

$$\deg_{(0; m+1)}(X) = e(X) + e(X);$$

Rappelons que le degré $\deg_{(0; m+1)}$ est obtenu en intersectant par $n+1$ formes linéaires relevées du second facteur P^{2N+1} , voir § I pour plus de détails.

Lorsque $\sum_{i=0}^N w_i = 2N+1$ on peut aussi interpréter le poids de Chow $e(X)$ isolément comme un bidegré en considérant une variation de la déformation torique précédente. Précisément, il s'agit maintenant de l'adhérence de Zariski $X^e \rightarrow P^1 \times P^{2N+1}$ de

$$f(1:t) = (t^0 x_0 : \dots : x_N : x_0 : \dots : x_N) \in G_m \times X \times G_m;$$

En appliquant ce qui précède on a

$$\deg_{(0; m+1)}(X^e) = e_e(X^e) + e_e(X^e);$$

où X^e désigne le plongement diagonal de X dans P^{2N+1} et $e = (0; \dots; 0; \dots; 0) \in \mathbb{Z}^{2N+2}$. On vérifie sans difficulté $e_e(X^e) = e(X)$ et $e_e(X^e) = 0$, d'où $\deg_{(0; m+1)}(X^e) = e(X)$.

Donnons maintenant la démonstration du théorème 0.2, en commençant par une variante de ce théorème de Bezout pour les poids de Chow. Notons

$$:P^1 \times P^{2N+1} \rightarrow P^N; ((t_0:t_1); (x_0 : \dots : x_N); (y_0 : \dots : y_N))$$

la projection de $P^1 \times P^{2N+1}$ sur P^N donnée par les $N+1$ dernières coordonnées de P^{2N+1} et

$$\sim :P^N \rightarrow P^1 \times P^{2N+1}; (x_0 : \dots : x_N) \mapsto ((0:1); (x_0 : \dots : x_N : 0)):$$

Théorème IV .2. | Soit $X \subset P^N$ une variété projective et H un diviseur de P^N ne contenant pas X , alors pour tout $\sum_{i=0}^N w_i = 2N+1$ on a

$$e(X \cdot H) = e(X) \deg(H) + \sum_{Y \in \text{Irr}(\text{init}(X))} m(X \cdot (H); \sim(Y)) \deg(Y);$$

De plus, si H est une hypersurface et $f \in K[x_0, \dots, x_N]$ est une équation de H on a, avec les notations du théorème 0.2,

$$m(X \cdot (H); \sim(Y)) = m(X \cdot \text{div}(f)); \sim(Y);$$

ou $(f) = f(t_0^0 x_0, \dots, t_0^N x_N) \in K[t_0, t_1][x_0, \dots, x_N]$.

Démonstration. | Il suffit d'établir le résultat pour $\sum_{i=0}^N w_i = 2N+1$, on se ramène à ce cas en ajoutant à un vecteur $(0; \dots; 0)$ ou $(0; \dots; 0) \in \mathbb{Z}^N$ est suffisamment grand et on remarque qu'avec les propriétés d'homogénéité du poids de Chow l'égalité désirée reste invariante.

Dans ce cas, comme H ne contient pas X , le cycle intersection $X \cdot (H)$ s'écrit comme la somme du cycle $(\hat{X} \cdot H)$ et d'un cycle supporté par $\sim(\text{init}(X))$, le second vivant donc dans

$f(0 : 1)g \in \mathbb{P}^{2N+1}$. Comme $\deg_{(0,m+1)}(\mathcal{O}^e) = e(X)$ et $\deg_{(0,m)}(\widehat{X} \cap H) = e(X \cap H)$ on a, d'après le théorème de Bezout multi-projectif [Rem 01b, Thm. 3.4],

$$\begin{aligned} \deg(H) e(X) &= \deg(H) \deg_{(0,m+1)}(\mathcal{O}^e) \\ &= \deg_{(0,m)}(\mathcal{O}^e \cap H) \cdot X \\ &= \deg_{(0,m)}(\widehat{X} \cap H) + \sum_{Y \in \text{Irr}(\text{init}(X))} m(\mathcal{O}^e \cap H; \sim(Y)) \cdot \deg(Y) \\ &= e(X \cap H) + \sum_{Y \in \text{Irr}(\text{init}(X))} m(\mathcal{O}^e \cap H; \sim(Y)) \cdot \deg(Y) : \end{aligned}$$

Notons également que le morphisme

$$\begin{aligned} \phi : \mathbb{P}^1 \times \mathbb{P}^{2N+1} &\rightarrow \mathbb{P}^1 \times \mathbb{P}^N \\ ((t_0 : t_1); (x_0 : \dots : x_N)) &\mapsto ((t_0 : t_1); (x_0 : \dots : x_N)) \end{aligned}$$

est un isomorphisme de \mathbb{P}^e sur X dans l'ouvert $t_1 \neq 0$, tel que $\phi^* \sim = \text{et}^0(\widehat{X} \cap H) = \text{div}(\phi)$. Cela entraîne, pour toute composante irréductible Y de $\text{init}(X)$,

$$m(\mathcal{O}^e \cap H; \sim(Y)) = m(X \cap \text{div}(\phi); \sim(Y)) :$$

□

Démonstration du théorème 0.2. | On reprend la fin de la démonstration du théorème IV 2 en se plaçant dans une carte affine contenant une composante Y de $\text{init}(X)$ et sur laquelle H est décrit par une équation f , on a

$$\begin{aligned} m(\mathcal{O}^e \cap H; \sim(Y)) &= \text{long}(K[X] \setminus \mathcal{O}^e \cap H)_{\sim(Y)} \\ &= \text{long}(K[X] \setminus \mathcal{O}^e \cap H)_{(Y)} \\ &= m(X \cap \text{div}(f); \sim(Y)) \\ &= m(X \cap H; \sim(Y)) + w_{t_0}(f) m(\text{init}(X); Y) \\ &= m(X \cap H; \sim(Y)) + ((0 + \dots + 1) \deg(H) - e(H)) m(\text{init}(X); Y) \end{aligned}$$

d'après le calcul de l'exemple IV 1. En \sum , en sommant sur toutes les composantes Y de $\text{init}(X)$ on a $\sum_Y m(\text{init}(X); Y) \deg(Y) = \deg(\text{init}(X)) = \deg(X)$. □

Dans les notations du théorème IV 2, soit $f \in K[x_0; \dots; x_N]$ une équation de H et $\phi \in \mathbb{R}^{N+1}$, posons

$$(IV.9) \quad w_{X; \phi}(f) := \frac{1}{\deg(X)} : (e(X \cap H) - e(X) \deg(H)) ;$$

c'est une fonction continue de \mathbb{R}^{N+1} . Lorsque $\phi \in \mathbb{R}^{N+1}$ on a donc par le théorème IV 2

$$w_{X; \phi}(f) = \sum_{Y \in \text{Irr}(\text{init}(X))} m(\mathcal{O}^e \cap H; \sim(Y)) \frac{\deg(Y)}{\deg(X)} :$$

Toujours dans ce cas, on vérifie $w_{X; k\phi}(f) = kw_{X; \phi}(f)$ pour tout $k \in \mathbb{N}$ et $w_{X; \phi + \phi_{(1; \dots; 1)}}(f) = w_{X; \phi}(f) + \phi \deg(H)$ pour $\phi \in \mathbb{R}^{N+1}$. On peut donc écrire en général (c'est-à-dire pour $\phi \in \mathbb{R}^{N+1}$) l'égalité

$$e(X \cap H) = e(X) \deg(H) + w_{X; \phi}(f) \deg(X)$$

en posant

$$w_{X; \phi}(f) := \lim_{k \rightarrow \infty} \frac{1}{k} w_{X; k\phi}(f) + \phi \deg(H)$$

ou $0 = m \text{ in } (0; \dots; N)$ et $[]$ designe le vecteur des parties entieres dans \mathbb{N}^{N+1} .

Dans le cas d'une variete torique X_A , le poids de Chow $e(X_A;) = e(X_A)$ s'exprime naturellement en termes d'un polytope construit a l'aide du vecteur 0 , au-dessus du polytope Q_A deja introduit au paragraphe I.

Proposition IV.3. ([PS04, Prop. III.1]) Avec les notations introduites on suppose $Z = \mathbb{A}^1 \times \dots \times \mathbb{A}^1 \cong \mathbb{A}^n$. Soit Q_A l'enveloppe convexe des points $(a_0; 0; \dots; a_N; N)$ dans \mathbb{R}^{N+1} et $\#_A; : Q_A \rightarrow \mathbb{R}$ la parametrisation de la toiture de Q_A , au-dessus de Q_A , alors

$$e(X_A) = (n+1)! \int_{Q_A} \#_A; (u) du_1 \dots du_n :$$

La demonstration qu'on donne de cette proposition dans [PS04, § III] est basee sur un calcul explicite des poids de Hilbert des varietes toriques; nous y montrons egalement qu'on peut l'obtenir comme consequence des resultats de IM. Gelfand, M.M. Kapranov et A.V. Zelevinski sur le polytope de Newton du A-resultant [GKZ94, Ch. 7 et 8]. Elle est egalement implicite dans [Don02, § 4.2]. L'interpretation ci-dessus du poids de Chow comme bi-degre permet d'en donner encore une autre demonstration simple et directe :

Demonstration. Tout d'abord on remarque qu'il suffit de demontrer l'enonce pour un choix generique (au sens de Zariski) du vecteur 0 dans \mathbb{R}^{N+1} , puisque les termes consideres sont continus par rapport a 0 . L'identite etant invariante par homotheties et translations, on peut se ramener a supposer $0 \in \mathbb{N}^{N+1}$ a coordonnees premieres entre elles dans leur ensemble.

On a $L_A; = \mathbb{Z}^{N+1}$; la proposition I2 entra^ne alors

$$e(X) = \deg_{(0, n+1)}(\mathcal{O}_X) = M_{V_{n+1}}(Q_A; ; \dots; Q_A;) = (n+1)! \int_{Q_A} \#_A; (u) du_1 \dots du_n$$

ou $e = (0; \dots; N; 0; \dots; 0) \in \mathbb{N}^{2N+2}$. □

La proposition IV.3 permet de reformuler de facon amusante le theoreme du sous-espace de Schmidt, dans la version projective qu'en ont donne Evertse et Ferretti [EF02] mais dans le cas tres particulier des varietes toriques.

Convention IV.4. Si K est un corps de nombres et v une place de K on notera $| \cdot |_v$ la valeur absolue de K dans v etendant la valeur absolue usuelle de \mathbb{Q} si v est archimediene et la valeur absolue p-adique standard de \mathbb{Q} (i.e. $|p|_p = p^{-1}$) si v est ultrametric. On notera encore M_K l'ensemble de ces valeurs absolues representant les places de K .

Soit K un corps de nombres et S un ensemble fini de places de K . On considere une variete torique X_A , P_N de degre n sur K , pour toute place $v \in S$ des reels $v; 0; \dots; v; N > 0$ et le systeme d'inequations en $x \in X_A; (\mathbb{Q})$:

$$(IV.10) \quad \log \frac{|x_i|_v}{|x|_v} \leq v_i h(x) \quad \text{pour tout } i = 0; \dots; N \text{ et toute place } w \notin v \text{ de } K(x),$$

ou $|x|_w = \max(|x_i|_w; i = 0; \dots; N)$ si w est ultrametric, $|x|_w = \prod_{i=0}^N |x_i|_w^{1/2}$ si w est archimediene, et $h(x)$ designe la hauteur projective.

Dans cette situation notons $\#_A; (u) = \prod_{v \in S} \frac{|K_v \cdot \mathbb{Q}_v|}{|K \cdot \mathbb{Q}|} \#_A; ; v(u)$ pour $u \in Q_A$. Le theoreme 3.2 de [EF02] explicite pour tout $\epsilon > 0$ des reels

$$c_1(N; n; \deg(X_A;); \epsilon) ; c_2(N; n; \deg(X_A;); \epsilon) > 1$$

tels que l'énoncé suivant soit vrai ($v = (v_i; \dots; v_N), v \in S$) :

Theorem e IV .5. | ([EF02], Thm .3.2) { Si la valeur moyenne de $\#_{A;}$ sur Q_A est $1 + \epsilon$, alors les points $x \in X_A; (\overline{Q})$ solutions du system e d'inequations (IV .10) et satisfaisant

$$h(x) \leq c_1(N; n; \deg(X_A;)); (1 + h(X_A;))$$

appartiennent a un sous-ensemble algebrique propre de $X_A; ,$ de ni sur K et de degre $c_2(N; n; \deg(X_A;))$.

Demonstration. | Notons $X = X_A; ,$ la condition donnee dans le theorem e 3.2 de [EF02] s'écrit

$$\frac{1}{(n+1)\deg(X)} : \prod_{v \in S} \frac{[K_v : Q_v]}{[K : Q]} e_v(X) \leq 1 + \epsilon :$$

Or $\deg(X) = n \text{Vol}_h(Q_A)$ d'apres la formule (I.1) et, vue la proposition IV .3, on a

$$\prod_{v \in S} \frac{[K_v : Q_v]}{[K : Q]} : \frac{e_v(X)}{(n+1)\deg(X)} = \frac{1}{\text{Vol}_h(Q_A)} : \int_{Q_A} \#_{A;}(u) du_1 : \dots : du_n$$

qui est bien la valeur moyenne de $\#_{A;}$ au-dessus Q_A . \square

Le resultat trivial, provenant de la formule du produit, permet d'affirmer que le system e (IV .10) n'a pas de solution dans $P_N(\overline{Q})$ des qu'il existe $i \in \{0; \dots; N\}$ tel que

$$\prod_{v \in S} \frac{[K_v : Q_v]}{[K : Q]} : v_i > 1 :$$

On donne un exemple ou ce resultat trivial s'applique bien que la condition du theorem e IV .5 ne soit pas remplie et un autre exemple ou le theorem e IV .5 donne un resultat non trivial.

Exemple IV .6. | Soient $0 < \epsilon < n+1, A \subset \mathbb{Z}^n$ et v tels que $v_i = 0$ pour tout $v \in S$ et $i = 1; \dots; N$ et $\prod_{v \in S} \frac{[K_v : Q_v]}{[K : Q]} : v_i > 1 + \epsilon > 1$. On calcule a l'aide de la proposition IV .3 $e_v(X_A) \leq \deg(X_A) : v_i$, d'ou $\prod_{v \in S} \frac{[K_v : Q_v]}{[K : Q]} : \frac{e_v(X_A)}{(n+1)\deg(X_A)} \leq \frac{1+\epsilon}{n+1} < 1$. On sait donc que dans ce cas le system e d'inequations (IV .10) n'a pas de solution telle que $x_0 \neq 0$, bien que l'hypothese principale du theorem e IV .5 ne soit pas satisfaite.

Exemple IV .7. | Soit maintenant $N^0 > 3$ un entier, $N = 2N^0$ et $D > N^0(N^0 - 1)$ un autre entier. On considere $A = (0; \dots; N^0 - 1; D - N^0 + 1; \dots; D) \subset \mathbb{Z}$ et $S = \{v_1; \dots; v_N\}$ un ensemble de N^0 places de \mathbb{Q} . A chaque place v_i de S on associe le vecteur $v_i \in \mathbb{R}^{N^0+1}$ dont toutes les coordonnees sont nulles sauf celles d'indices i et $D - N^0 + i$ qui valent $\frac{1}{N^0 - 1}$. On a ainsi $e_{v_i}(X_A) \leq 2 \frac{D - N^0 + 1}{N^0 - 1}$ et $\prod_{v \in S} \frac{e_v(X_A)}{2 \deg(X_A)} \leq \frac{D - N^0 + 1}{D} : \frac{N^0}{N^0 - 1} > 1$, tandis que $\prod_{v \in S} v_i = \frac{1}{N^0 - 1} < 1$ pour tout $i = 0; \dots; N$. Le theorem e IV .5 s'applique donc et donne un resultat a priori non trivial dans ce cas.

V . Hauteur normalisee

L'espace projectif peut être vu comme une compactification equivariante du groupe multiplicatif $G_m^N / (P^N)$, cette structure de groupe permettant de définir une notion de hauteur pour les sous-varietes de P^N plus canonique que les autres, appelee hauteur normalisee. Cette notion joue un rôle central dans l'approximation diophantienne sur les tores, et tout particulierement dans les problem es de Lehmer generalise et de Bogomolov sur les tores, voir [DP99], [AD03] et leurs references, voir egalement [Dav03] pour un aperçu historique.

Suivant [P 99], la hauteur normalisée peut se définir par un procédé («à la Tate»). De façon précise, pour $k \geq 2$ on pose $[k] : P^N \rightarrow P^N$, $(x_0 : \dots : x_N) \mapsto (x_0^k : \dots : x_N^k)$ l'application puissance k -ième; restreinte au tore $(P^N)^\circ$ c'est l'application de multiplication par k . La hauteur normalisée d'une variété projective X est par définition

$$h(X) := \deg(X) \lim_{k \rightarrow \infty} \frac{h([k]X)}{k \deg([k]X)} \in \mathbb{R}_+;$$

où \deg et h désignent le degré et la hauteur projective, voir [P 99, § 2] ou [PS04, § I.2]. Lorsque X est de dimension 0, il s'agit de la hauteur de Gauss-Weil des points.

On sait que le comportement de cette hauteur normalisée est lié à la nature géométrique de la variété X . En particulier, $h(X) = 0$ si et seulement si X est une variété de torsion, c'est-à-dire un translate de sous-tore un point de torsion. Dans [PS04] on a établi un analogue arithmétique de l'expression du degré d'une variété torique comme volume du polyèdre associé, que nous rappelons maintenant.

Soit M_K l'ensemble des places du corps K et rappelons la convention IV.4. Pour chaque $v \in M_K$ on considère le vecteur $v := (\log |j_0|_v; \dots; \log |j_N|_v) \in \mathbb{R}^{N+1}$ et le polyèdre

$$Q_{A;v} := \text{Conv}(a_0; \log |j_0|_v; \dots; a_N; \log |j_N|_v) \subset \mathbb{R}^{N+1};$$

dont la toiture au-dessus de Q_A (c'est-à-dire l'enveloppe supérieure) s'envoie bijectivement sur Q_A par la projection standard $\mathbb{R}^{N+1} \rightarrow \mathbb{R}^N$. On pose alors

$$\#_{A;v} : Q_A \rightarrow \mathbb{R}; \quad x \mapsto \max_{y \in \mathbb{R}^N} : (x;y) \in Q_{A;v}$$

la paramétrisation de cette toiture; c'est une fonction concave et affine par morceaux.

Théorème V.1. ([PS04, Thm. 0.1]) Soit $A \in (\mathbb{Z}^N)^{N+1}$ tel que $L_A = \mathbb{Z}^N$ et $\in (\mathbb{K}^N)^{N+1}$, alors

$$h(X_A) = \sum_{v \in M_K} \frac{[K_v : Q_v]}{[K : Q]} e_v(X_A) = (n+1)! \sum_{v \in M_K} \frac{[K_v : Q_v]}{[K : Q]} \int_{Q_A} \#_{A;v}(u) du_1 \dots du_n$$

Notons que $e_v = 0$ pour presque tout v , donc cette somme ne contient qu'un nombre fini de termes non nuls. Dans les cas des points ($n = 0$) la formule se réduit à la définition usuelle de la hauteur normalisée (hauteur de Gauss-Weil) d'un point de P^N .

Comme on a $h(X_A) = 0$, on peut s'interroger si cette formule n'est pas la manifestation d'une propriété générale de la hauteur normalisée par translation. Dans ce sens, B. Sturmfels nous a demandé si pour toute variété projective X on a

$$h(X) = h(X) + \sum_{v \in M_K} \frac{[K_v : Q_v]}{[K : Q]} e_v(X) ?$$

Soit $\sum_{i=0}^n \sum_{j=0}^N U_{i;j}^{b_{i;j}}$ un monôme apparaissant dans la forme de Chow de X , on vérifie facilement

$$e_v(X) = \sum_{i=0}^n \sum_{j=0}^N b_{i;j} \binom{X^n}{v;0} + \sum_{i=0}^n \sum_{j=N}^N b_{i;j} \binom{X^n}{v;N} :$$

Comme $\sum_{v \in M_K} \frac{[K_v : Q_v]}{[K : Q]} e_{v;i} = 0$ pour tout $i = 0; \dots; N$ par la formule du produit, on en déduit

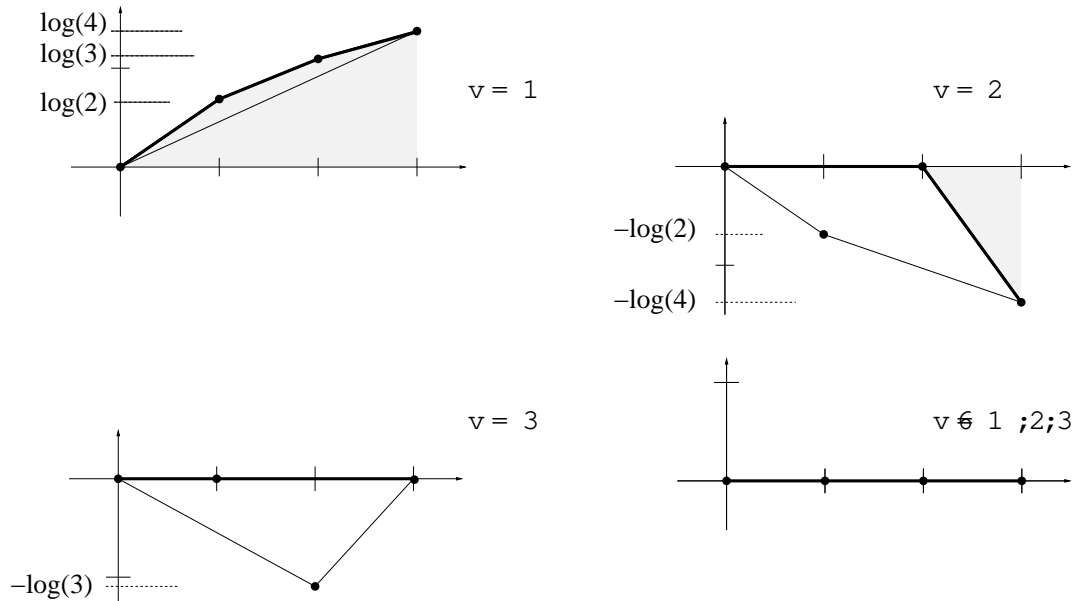
$$\sum_{v \in M_K} \frac{[K_v : Q_v]}{[K : Q]} e_v(X) = 0 \text{ pour tout } \in (\overline{Q})^{N+1} :$$

Une formule du type précédent ne peut donc être valable en général.

Illustrons cette formule par un exemple en dimension 1. Soient $A_N = (0; 1; 2; \dots; N) \subset \mathbb{Z}^{N+1}$ et $N = (1; 2; 3; \dots; N+1) \subset \overline{\mathbb{Q}}^{N+1}$; ainsi

$$h(X_{A_N; N}) = 2! \int_0^N \log(u) du + \sum_{p \in N} \int_0^N \log(u) du = 2 \log(2) + 2 \log(3) = \log(36)$$

Les figures suivantes montrent pour $N = 3$ les polytopes associés et leurs toitures, pour chaque place $v \in M_Q$:



Ainsi $\#_v = 0$ pour $v \in \{1, 2\}$, d'où

$$h(X_{A_3; N}) = 2! \int_0^3 \log(u) du + \sum_{p \in N} \int_0^3 \log(u) du = 2 \log(2) + 2 \log(3) = \log(36)$$

En général

$$\begin{aligned} h(X_{A_N; N}) &= 2! \int_0^N \log(u) du + \sum_{p \in N} \int_0^N \log(u) du \\ &= 2 \log(2) + \dots + \log(N) \frac{1}{2} + \log(N+1) + \sum_{p \in N} \frac{1}{2} \log(N+1) \\ &= 2 \log(N!) \end{aligned}$$

A l'instar des multidegrees, les multihauteurs du tore G_m^n plonge dans un produit d'espaces projectifs via plusieurs applications monomiales peuvent aussi s'expliquer à l'aide d'intégrales mixtes des fonctions concaves apparaissant dans le théorème V.1.

Soit $Z \subset \mathbb{P}^{N_0} \times \dots \times \mathbb{P}^{N_m}$ de dimension n et $c = (c_0; \dots; c_m) \subset \mathbb{N}_{n+1}^{m+1}$ avec $0 \leq c_i \leq N_i$. Soit $\text{res}_{d(c)}(I(Z))$ la forme résultante associée, dans les notations du § I. La multihauteur projective de Z d'indice c est de nie par

$$h_c(Z) = h(\text{res}_{d(c)}(I(Z))) ;$$

ou h désigne la hauteur des polynômes multihomogènes de nie à l'aide de la $S_{N_0+1} \times \dots \times S_{N_m+1}$ -mesure pour les places archimédiennes; on renvoie à [Rem 01a] ou encore [PS04, § I.2]

pour les details. Notons $s : \mathbb{P}^{N_0} \times \dots \times \mathbb{P}^{N_m} \rightarrow \mathbb{P}^{(N_0+1) + \dots + (N_m+1)}$ le plongement de Segre, la suite

$$k \ni \deg(s(Z)) = \frac{h_c(k[Z])}{k \deg(k[s(Z)])}$$

converge lorsque k tend vers l'infini [PS04, Prop. I.2]). Sa limite est par definition la multi-hauteur normalisee de Z d'indice c , notee $\hat{h}_c(Z)$.

Pour $D = (D_0; \dots; D_m) \in (\mathbb{N})^{m+1}$ soit $D : \mathbb{P}^{N_0} \times \dots \times \mathbb{P}^{(N_0+D_0)} \times \dots \times \mathbb{P}^{(N_m+D_m)}$ le plongement mixte introduit au paragraphe I, alors on a la formule [PS04, (I.4)]

$$(V.11) \quad \hat{h}(D)(Z) = \sum_{c \in \mathbb{N}_{n+1}^{m+1}} \binom{n+1}{c} \hat{h}_c(Z) D^c$$

Les multi-hauteurs des varietes toriques s'explicitent en termes de ce qu'on appelle des integrales mixtes d'une famille de fonctions concaves [PS04, § IV.3], notion analogue au volume mixte. Soient $f : Q \rightarrow \mathbb{R}$ et $g : R \rightarrow \mathbb{R}$ des fonctions concaves de nies sur des ensembles convexes $Q; R \subset \mathbb{R}^n$ respectivement. On pose

$$f \oplus g : Q + R \rightarrow \mathbb{R}; \quad x \mapsto \max\{f(y) + g(z) : y \in Q; z \in R; y + z = x\}$$

qui est une fonction concave de nie sur la somme de Minkowski $Q + R$; on obtient ainsi une structure de semi-groupe commutatif sur l'ensemble des fonctions concaves (de nies sur des ensembles convexes). Pour une famille de fonctions concaves $f_0 : Q_0 \rightarrow \mathbb{R}; \dots; f_n : Q_n \rightarrow \mathbb{R}$ l'integrale mixte (ou multi-integrale) est de nie via la formule

$$MI(f_0; \dots; f_n) = \int_{j=0}^n \int_{0 \leq i_0 < \dots < i_j} \int_{Q_{i_0} + \dots + Q_{i_j}} (f_{i_0} \oplus \dots \oplus f_{i_j})(u) du_1 \dots du_n$$

Comme pour le volume mixte, l'integrale mixte est une fonctionnelle positive, symetrique et lineaire en chaque variable f_i , voir [PS04, § IV.3].

Soit $A_0 \in (\mathbb{Z}^n)^{N_0+1}; \dots; A_m \in (\mathbb{Z}^n)^{N_m+1}$ tels que $L_{A_0} + \dots + L_{A_m} = \mathbb{Z}^n$ et $\underline{A} := (A_0; \dots; A_m)$. Soit $\underline{v} \in (\mathbb{K})^{N_0+1}; \dots; \underline{v}_m \in (\mathbb{K})^{N_m+1}$ et posons $\underline{v} = (v_0; \dots; v_m)$. Considerons alors l'action monomiale \underline{A} de G_m^n sur le produit d'espaces projectifs $\mathbb{P}^{N_0} \times \dots \times \mathbb{P}^{N_m}$ associee; on note $X_{\underline{A}; \underline{v}}$ l'adherence de Zariski de l'orbite du point $\underline{v} \in \mathbb{P}^{N_0} \times \dots \times \mathbb{P}^{N_m}$.

Pour chaque $v \in M_{\mathbb{K}}$ on note aussi $\#_{A_i; v} : Q_{A_i} \rightarrow \mathbb{R}$ la fonction parametree la toiture du polytope $Q_{A_i}; v \in \mathbb{R}^{n+1}$ associe au vecteur A_i et au poids v .

Theorem e V.2. | [PS04, Thm. 0.3 et Rem. IV.7] | Soit $c \in \mathbb{N}_{n+1}^{m+1}$, dans la situation ci-dessus on a

$$\hat{h}_c(X_{\underline{A}; \underline{v}}) = \sum_{v \in M_{\mathbb{K}}} \frac{[K_v : Q_v]}{[K : Q]} MI_c(\#_{\underline{A}; \underline{v}})$$

$$\text{avec } MI_c(\#_{\underline{A}; \underline{v}}) = MI \left(\underbrace{\#_{A_0; v_0}; \dots; \#_{A_0; v_0}}_{c_0 \text{ fois}}; \dots; \underbrace{\#_{A_m; v_m}; \dots; \#_{A_m; v_m}}_{c_m \text{ fois}} \right)$$

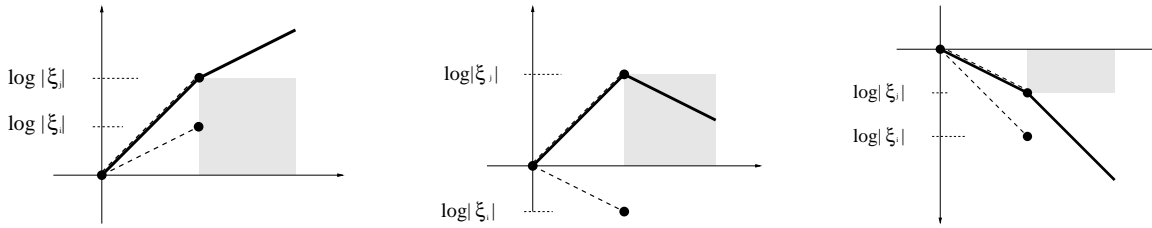
Exemple V.3. | Soient $v_1; \dots; v_N \in \mathbb{K}$ et considerons l'application monomiale

$$G_m \rightarrow \mathbb{P}^{2^N - 1} \text{ (Segre)} \\ s \mapsto ((1 : v_1 s); \dots; (1 : v_N s)) \mapsto ((\prod_{j \in J} v_j)^{c_{\text{axd}(J)}} : J \in \mathcal{P}(\{1; \dots; N\}))$$

Soit X l'image de σ dans $(\mathbb{P}^1)^N$ et pour $1 \leq i, j \leq N$ notons $c(i; j) \in \mathbb{N}^N$ le vecteur dont les coordonnées d'indices i et j valent 1 et les autres 0, on vérifie à l'aide du théorème V.2 et de la définition des multi-intégrales

$$\begin{aligned} h_{c(i; j)}(X) &= \prod_{v \in M_K} \frac{[K_v : \mathbb{Q}_v]}{[K : \mathbb{Q}]} M_{I_c}(\#_{A; \cdot}_v) \\ &= \prod_{v \in M_K} \frac{[K_v : \mathbb{Q}_v]}{[K : \mathbb{Q}]} \max(\log |j_i|; \log |j_j|) \\ &= h(i : j) : \end{aligned}$$

Dans la figure suivante les parties grisées montrent pour $N = 2$ et en supposant $\log |j_i| > \log |j_j|$ pour chaque cas le calcul de la multi-intégrale $M_{I_c}(\#_{A; \cdot}_v)$.



Par la formule (V.11), on en déduit que la hauteur de l'image de Segre σ dans $\mathbb{P}^{2^N - 1}$ est égale à

$$h(\text{Segre}(X)) = 2 \sum_{1 \leq i < j \leq N} h_{c(i; j)}(X) = 2 \sum_{1 \leq i < j \leq N} h((i : j)) = 2 \sum_{1 \leq i, j \leq N} h((i : j)) :$$

Une conséquence du théorème V.1 est que $h(X_A; \cdot)$ est le logarithme d'un nombre algébrique. En effet, $e_v(X_A) = 0$ pour toutes les places v sauf un nombre fini et, comme le poids de Chow est combinaison à coefficients entiers des composantes du vecteur poids \cdot , c'est à dire des $\log |j_j|$, notre assertion est claire. Un tel logarithme de nombre algébrique étant nul ou transcendant, on peut énoncer:

Proposition V.4. | Soit X une variété torique qui n'est pas de torsion, alors $h(X) \notin \overline{\mathbb{Q}}$.

Les hauteurs normalisées des variétés toriques qui ne sont pas de torsion, sont donc des nombres transcendants parmi les plus simples que l'on connaisse, à savoir les logarithmes de nombres algébriques. On sait qu'il devrait résulter des conjectures les plus générales sur les variétés et les motifs que les hauteurs des variétés projectives s'expriment rationnellement en termes de valeurs de fonctions L et de leurs dérivées, ou encore en termes de polylogarithmes.

Des qu'on considère des variétés projectives qui ne sont plus toriques on doit s'attendre à ce que leur hauteur normalisée fasse effectivement intervenir des polylogarithmes supérieurs. De même, si l'on s'intéresse à la hauteur projective d'une variété torique, une quantité supplémentaire s'ajoute aux intégrales des fonctions $\#_{A; \cdot}_v$, qui s'écrit bien sur des exemples à l'aide de polylogarithmes mais est en général difficile à évaluer exactement (calculs non publiés).

V I. Optimalité du théorème des minimums algébriques successifs

Dans ce paragraphe on étudie les minimums algébriques successifs des variétés toriques, définis dans l'introduction. Comme résultat principal, on démontre le théorème 0.4 énoncé dans l'introduction qui entraîne l'optimalité des estimations dans le théorème des minimums algébriques successifs: on construit des exemples montrant qu'à des ϵ -pres, toute conjugaison

possible des m minimums successifs se réalise et que le quotient $h(X) = \deg(X)$ peut atteindre n'importe quelle valeur dans l'intervalle autorisé par les inégalités (1).

Notons que l'analogie abélien du théorème 0.4 est faux: soit A une variété abélienne de dimension n sur $\overline{\mathbb{Q}}$ munie d'un fibré en droites ample et symétrique, permettant de définir une notion de hauteur normalisée $h = h_L$ pour les sous-variétés de A [Phi91]. En particulier, on a une notion de m minimums successifs et le théorème de Zhang y est toujours valable, voir [Zha95, Thm. 5.2].

Soit $\tau + B$ la translate d'une sous-variété abélienne B par un point τ et $\text{Tors}(B)$ le sous-groupe des points de torsion de B . Soit α un point quelconque dans $\tau + B$, alors $\alpha + \text{Tors}(B)$ est un sous-ensemble de points de hauteur $h(\alpha)$ dense dans $\tau + B$ (puisque $\text{Tors}(B)$ est Zariski dense dans B), donc $b^{\text{ess}}(\tau + B) = h(\alpha)$. On en déduit $b^{\text{ess}}(\tau + B) = b^{\text{abs}}(\tau + B)$ et donc

$$b_i(\tau + B) = b^{\text{ess}}(\tau + B) \quad \text{pour } i = 1; \dots; n + 1 :$$

Ainsi, dans cette situation l'intervalle du théorème des m minimums successifs se réduit à un point, et on a les égalités

$$\frac{h(\tau + B)}{\deg(\tau + B)} = (n + 1) b^{\text{ess}}(\tau + B) = b_1(\tau + B) + \dots + h(\tau + B) :$$

La situation est plus riche dans le cas torique, la différence tenant au fait que les translates de sous-ttores de (\mathbb{P}^N) ne sont pas des ensembles fermés.

Soit $A = (a_0; \dots; a_N) \in \mathbb{Z}^n \subset (\mathbb{Z}^n)^{N+1}$ et $\alpha = (\alpha_0; \dots; \alpha_N) \in \overline{\mathbb{Q}}^{N+1}$. L'ouvert principal X_A , est la translate de sous-ttore X_α et avec le même raisonnement que pour le cas abélien

$$(VI.12) \quad b^{\text{ess}}(X_A; \alpha) = b^{\text{ess}}(X_\alpha; \alpha) = b_i(X_\alpha; \alpha) \quad \text{pour } i = 1; \dots; n + 1 :$$

Cependant, les autres m minimums successifs de X_A dépendent des orbites de dimension inférieure, et peuvent donc différer du m minimum essentiel.

Lemme VI.1. | Avec les notations ci-dessus, pour $i = 1; \dots; n + 1$

$$b_i(X_A; \alpha) = \min_{P \in F(Q_A)} b^{\text{abs}}(X_A; P) : P \in F(Q_A); \dim(P) = n - i + 1 ;$$

où P parcourt l'ensemble des faces $F(Q_A)$ du polyèdre Q_A de dimension $n - i + 1$.

Démonstration. | Considérons la décomposition en orbites: $X_A = \bigcup_{P \in F(Q_A)} X_A; P$ (formule (I.3)). C'est un recouvrement de X_A , et donc par [Som 05, Lem. 2.2] on a

$$\begin{aligned} b_i(X_A) &= \min_{P \in F(Q_A)} b_{\dim(P) - n + i}(X_A; P) : \dim(P) = n - i + 1 \\ &= \min_{P \in F(Q_A)} b^{\text{abs}}(X_A; P) : \dim(P) = n - i + 1 \end{aligned}$$

car ce m minimum est atteint sur les faces de dimension $n - i + 1$. □

Ainsi, le calcul des m minimums successifs de X_A se réduit à celui du m minimum essentiel (ou absolu) d'un sous-ttore. Le lemme suivant donne le m minimum essentiel pour certaines variétés toriques particulières.

Lemme VI.2. | Soit $A = (a_0; \dots; a_N) \in \mathbb{Z}^n \subset (\mathbb{Z}^n)^{N+1}$ et $\alpha = (\alpha_0; \dots; \alpha_N) \in (\mathbb{K})^{N+1}$, et supposons qu'il existe $a \in \text{Supp}(A)$ tel que pour toute place $v \in M_K$ le maximum des $|j_i|_v$ pour $i = 0; \dots; N$ est atteint au-dessus de a , autrement-dit

$$\max_{j_i} |j_i|_v : 0 \leq i \leq N \text{ est atteint au-dessus de } a, \text{ pour toute place } v \in M_K.$$

Alors $b^{\text{ess}}(X_A; \alpha) = b^{\text{abs}}(X_A; \alpha) = h(\alpha)$.

Démonstration. | Notons $0 \leq i_0, \dots, i_M \leq N$ les indices pour lesquels $a_i = a$ et soit $\$: P^N \rightarrow P^M$ la projection $x \mapsto (x_{i_0} : \dots : x_{i_M})$. Alors pour un point quelconque $\alpha = (s^a : \dots : s^a) \in X_A$, on a $\$(\alpha) = (s^a : \dots : s^a) \in X_{\$}$ et donc

$$h(\alpha) = h(\$(\alpha)) = h(s^a : \dots : s^a);$$

et $h(s^a : \dots : s^a) = h(\alpha)$ grâce à l'hypothèse du lemme, donc $b^{\text{abs}}(X_A, \alpha) = h(\alpha)$. En outre $h(\alpha) = b^{\text{ess}}(X_A, \alpha)$ d'où la conclusion. \square

Démonstration du théorème 0.4. | On peut supposer sans perte de généralité $N = 3n + 1$, puisque le cas général se déduit de celui-ci par immersion de P^{3n+1} comme un sous-espace standard de P^N .

Soient d un nombre premier, $1 \leq k \leq n$, $1 \leq f \leq d-1$ des paramètres entiers à expliquer ultérieurement et encore $q_0, \dots, q_n \geq 0$ des paramètres rationnels. Rappelons que e_1, \dots, e_n désigne la base standard de Z^n et S le simplexe standard $\text{Conv}(0; e_1; \dots; e_n) \subset R^n$, on pose

$$\begin{aligned} a_i &= de_i && \text{pour } i = 1; \dots; n \\ &\geq (d-1)e_i && \text{pour } 1 \leq i \leq k-1 \\ b_i &= fe_i && \text{pour } i = k \\ &\geq e_i && \text{pour } k+1 \leq i \leq n \end{aligned}$$

puis

$$\begin{aligned} A &= (0; a_1; \dots; a_n; 0; a_1; \dots; a_n; b_1; \dots; b_n) \subset (Z^n)^{3n+2}; \\ &= (\underbrace{1; \dots; 1}_{n+1 \text{ fois}}; \underbrace{2^{q_0}; 2^{q_1}; \dots; 2^{q_n}}_{k \text{ fois}}; \underbrace{2^{q_0}; \dots; 2^{q_0}}_{n-k \text{ fois}}; \underbrace{1; \dots; 1}_k) \subset (\overline{Q})^{3n+2} \end{aligned}$$

et on considère $X \subset P^{3n+1}$ la variété torique associée au couple $(A; \cdot)$ ainsi défini. On a $L_A = Z^n$ et $Q_A = dS$, donc la dimension et le degré de cette variété sont égaux à n et $n! \text{Vol}_n(Q_A) = d^n$ respectivement, et si \cdot est un dénominateur commun de q_0, \dots, q_n , cette variété est définie sur l'extension kummerienne $K = Q(2^{\frac{1}{\cdot}})$. De plus, il résulte du lemme VI.1 et du lemme VI.2 appliqué à toutes les faces de Q_A

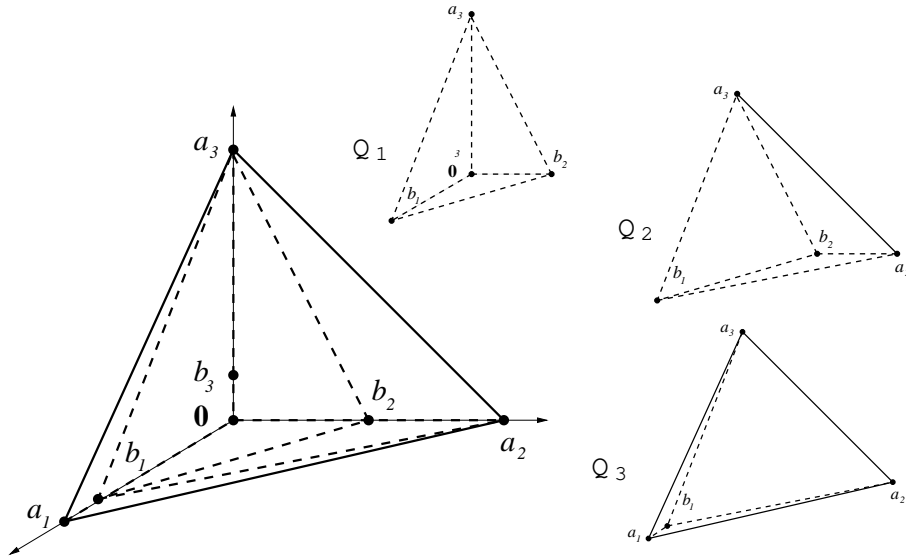
$$(VI.13) \quad b_i(X) = q_{i-1} \log(2); \quad i = 1; \dots; n+1;$$

le i -ème minimum se réalisant sur la face $\text{Conv}(a_{i-1}; \dots; a_n)$. En outre, on estime la hauteur en utilisant la formule dans le théorème V.1. On décompose le polytope de base en

$$Q_A = Q_1 \sqcup Q_2 \sqcup Q_3$$

avec $Q_1 = \text{Conv}(0; b_1; \dots; b_k; a_{k+1}; \dots; a_n)$, $Q_2 = \text{Conv}(b_1; \dots; b_k; a_k; \dots; a_n)$ et $Q_3 = Q_A \setminus (Q_1 \sqcup Q_2)$. Pour $n = 3$ on a une figure du type montré ci-dessous :

Pour toute place v de K on vérifie $\#_{A; v} \geq 0$; la formule pour $h(X)$ se réduit alors aux contributions des places archimédiennes. Pour $v \in M_K^1$, la décomposition du domaine considérée sépare l'intégrale en trois morceaux $I_i = \int_{Q_i} \#_{A; v}(u) du$ ($i = 1; 2; 3$). On vérifie d'abord que la fonction $\#_{A; v}$ est linéaire sur chacun des simplexes Q_1 et Q_2 . L'intégrale



d'une fonction lineaire sur un simplexe etant egale au volume du simplexe multiplie par la valeur moyenne de la fonction, on trouve

$$\begin{aligned}
 I_1 &= \text{Vol}_n(Q_1) \frac{((k+1)q_0 + q_{k+1} + \dots) \log(2)}{n+1} \\
 &= \frac{f(d-1)^{k-1} d^{n-k}}{(n+1)!} ((k+1)q_0 + q_{k+1} + \dots) \log(2) ; \\
 I_2 &= \text{Vol}_n(Q_2) \frac{(kq_0 + q_k + \dots) \log(2)}{n+1} \\
 &= \frac{(d-f)(d-1)^{k-1} d^{n-k}}{(n+1)!} (kq_0 + q_k + \dots) \log(2) :
 \end{aligned}$$

En outre on estime brutalement la troisieme integrale

$$0 \leq I_3 = \text{Vol}_n(Q_3) \max(\dots) = \frac{d^n (d-1)^{k-1} d^{n-k+1}}{n!} q_0 \log(2) ;$$

puisque $\text{Vol}_n(Q_3) = \text{Vol}_n(Q_A) - \text{Vol}_n(Q_1 \cup Q_2) = d^n (d-1)^{k-1} d^{n-k+1}$. Il s'ensuit

$$(n+1)! \int_{Q_A} \dots du = (n+1)! (I_1 + I_2 + I_3) = d^n (\dots)$$

avec

$$\begin{aligned}
 &= 1 \frac{1}{d} \dots \frac{d-f}{d} (kq_0 + q_k + \dots) \log(2) \\
 &= 1 \frac{1}{d} \dots (kq_0 + q_k + \dots) \log(2)
 \end{aligned}$$

et

$$0 \leq E(A; \nu) = \frac{(n+1)!}{d^n} I_3 \dots \frac{(n+1)(k-1)}{d} q_0 \log(2) :$$

On deduit alors du theoreme V.1

$$(VI.14) \quad 0 \leq \frac{h(X)}{\deg(X)} \leq \frac{(n+1)(k-1)}{d} q_0 \log(2) :$$

Maintenant on fixe les paramètres : d'abord on prend $\epsilon = d \log(2)^{n-1} e + 1$, et pour $0 \leq i < n$ on pose $q_i := \frac{1}{\epsilon} \frac{i+1}{\log(2)}$ de sorte que $b_{i+1}(X) = q_i \log(2)$ satisfait

$$(VI.15) \quad 0 \leq q_{i+1} - q_i \log(2) < \epsilon^{-1}$$

comme voulu. On vérifie

$$(q_0 + \dots + q_n) \log(2) \leq \epsilon^{-1} + \dots + \epsilon^{-1} = (n+1) \epsilon^{-1} = (n+1) q_0 \log(2)$$

et on se choisit $k < n$ tel que

$$(k q_0 + q_k + \dots + q_n) \log(2) \leq ((k+1) q_0 + q_{k+1} + \dots + q_n) \log(2) :$$

Soit $\alpha \in [0; 1]$ tel que

$$= (1 - \alpha) (k q_0 + q_k + \dots + q_n) \log(2) + \alpha ((k+1) q_0 + q_{k+1} + \dots + q_n) \log(2) :$$

On prend alors $1 \leq f \leq d$ tel que

$$(VI.16) \quad \frac{1}{f} \leq \frac{d}{f} - 1 \leq d$$

et on considère le $\epsilon = (d)$ associé à ces paramètres. On vérifie facilement

$$\frac{1}{d} + \frac{(k-1)(n+1) \epsilon^{-1}}{d} = \frac{n^2 - 1}{d} :$$

Finalement on obtient le résultat cherché en sommant avec l'inégalité (VI.14)

$$\frac{h(X)}{\deg(X)} \leq \frac{(n+1)(k-1)}{d} \epsilon^{-1} + \frac{(n+1)(k-1) + 1}{d} \epsilon^{-1} \leq \frac{2n^2 - 1}{d} \epsilon^{-1} :$$

En prenant, grâce au postulat de Bertrand, d un premier entre $2n^2 - 1$ et $4n^2 - 1$ on arrive au résultat annoncé. \square

Ce résultat montre que déjà dans le cadre torique, toute configuration possible des m minimums $b_1(X); \dots; b_{n+1}(X)$ se réalise, et l'encadrement (1) est optimal en toute dimension, lorsque le degré de X et celui du corps de définition sont assez grands. Toutefois, notre exemple présente une codimension minimale $N - n = 2n + 1$ de l'ordre de la dimension de la variété produite. La question se pose donc de savoir ce qu'il en est pour les variétés de petite codimension. Dans le cas de codimension 1 on a le résultat suivant qui laisse ouverte la possibilité de ramements de (1) en petite codimension.

Proposition VI.3. | Soit $X \subset \mathbb{P}^N$ une hypersurface torique d'équation homogène minimale $f_X = x^b - x^c \in \mathbb{Q}[x_0; \dots; x_N]$, alors

$$b^{\text{ess}}(X) = \frac{h(1 : \cdot)}{\deg(f_X)} = \frac{h(X)}{\deg(X)} ; \quad b_2(X) = \dots = b_n(X) = 0 :$$

Démonstration. | Les contributions des places archimédiennes à la hauteur normalisée de X sont égales aux mesures de Mahler des conjuguées de f_X et donc $h(X) = h(1 : \cdot)$, voir [S04], suite de l'exemple III.7. Par la proposition II.1 on a $\epsilon = b - c$ pour tout point $\alpha \in X$. En choisissant ϵ de hauteur normalisée aussi proche du minimum essentiel $b^{\text{ess}}(X)$ que l'on veut, on a

$$\frac{h(X)}{\deg(X)} = \frac{h(1 : b - c)}{\deg(f_X)} = \frac{h(b : c)}{\deg(f_X)} \leq h(\cdot) - b^{\text{ess}}(X) + \epsilon$$

pour tout $n > 0$. Avec la formule (1) de l'introduction on obtient $b_1(X) + h(X) = \deg(X) - b_1(X)$, ce qui entraîne l'énoncé. \square

Il serait très intéressant d'expliciter les minimums successifs d'une variété torique quelconque, en généralisant à la fois le lemme VI.2 et la proposition VI.3. Grâce au lemme VI.1 on sait qu'il suffit de le faire pour le minimum essentiel.

Une question liée est celle de construire explicitement des points de X_A de hauteur comparable au minimum essentiel. De plus, on peut se demander s'il existe un point dans la variété réalisant ce minimum essentiel, c'est-à-dire de savoir s'il existe un point de hauteur minimale. Dans le même ordre d'idée, existe-t-il un point de X_A dont la hauteur normalisée soit égale au quotient $h(X_A) = \deg(X_A)$?

Pour conclure ce paragraphe, explicitons l'encadrement pour le quotient hauteur-sur-degré qui découle de la formule pour la hauteur d'une variété torique:

Proposition VI.4. | Soient $A \in \mathbb{Z}^{(n+1)}$ et $\alpha \in \overline{\mathbb{Q}}^{n+1}$, alors

$$h(\alpha) \leq n \cdot h(\alpha_j^{-1} : a_j \in F_0(\mathbb{Q}_A)) \leq \frac{h(X_A)}{\deg(X_A)} (n+1) h(\alpha);$$

où a_j parcourt l'ensemble $F_0(\mathbb{Q}_A)$ des sommets de \mathbb{Q}_A .

Démonstration. | Soit K le corps de définition de α et $v \in M_K$. On a $\max(\#_{A; v}) = \log \max_{j \in \{0, \dots, n\}} |j|_v = \log(\max_j |j|_v)$, ce qui entraîne

$$\sum_{Q_A} \#_{A; v}(u) \text{ du } \text{Vol}_n(\mathbb{Q}_A) \log(k \cdot k_v) = \frac{1}{n!} \deg(X_A) \log(k \cdot k_v)$$

et donc $h(X_A) \leq (n+1) \deg(X_A) h(\alpha)$, ce qui établit la majoration. Pour la minoration, soit $v \in M_K$ et posons

$$m_v = \min_{u \in \mathbb{Q}_A} (\#_{A; v}(u)) = \min_{i \in \{0, \dots, n\}} \max_j \log |j|_v : a_i = \alpha_j : a_j \in F_0(\mathbb{Q}_A)$$

et considérons le polytope $Q_v = \text{Conv}(\alpha_i; \log |j|_v); (\alpha_i; m_v) : i = 0, \dots, n \in \mathbb{R}^{n+1}$. Soit $0 \leq j \leq n$ tel que $\log |j|_v$ soit maximal, alors $Q_v \subset \text{Conv}(\alpha_j; \log |j|_v); \mathbb{Q}_A$ et donc $\text{Vol}_{n+1}(Q_v) \leq \frac{1}{n+1} \log(k \cdot k_v) \cdot m_v \cdot \text{Vol}_n(\mathbb{Q}_A)$. On en déduit

$$\sum_{Q_A} \#_{A; v}(u) \text{ du} = \text{Vol}_{n+1}(Q_v) + m_v \text{Vol}_n(\mathbb{Q}_A) \leq \frac{1}{n+1} \log(k \cdot k_v) + \frac{n}{n+1} m_v \text{Vol}_n(\mathbb{Q}_A);$$

d'où $h(X_A) \leq \deg(X_A) h(\alpha) \leq n h(\alpha_j^{-1} : a_j \in F_0(\mathbb{Q}_A))$ car $\sum_{v \in M_K} \frac{|\mathbb{K} \cdot \mathbb{Q}_v|}{|\mathbb{K} \cdot \mathbb{Q}|} (m_v) = h(\alpha_j^{-1} : a_j \in F_0(\mathbb{Q}_A))$. \square

Notons qu'en remplaçant le point α par un point de X_A de hauteur aussi proche que l'on veut du minimum essentiel, on retrouve simplement la majoration de (1); par contre on obtient une minoration différente.

VII. Poids de Chow et hauteur des diviseurs monomiaux

Dans ce paragraphe on considère l'intersection d'une variété torique avec un diviseur monomial de \mathbb{P}^N . On montrera comment dans cette situation, le théorème de Bezout pour les poids de Chow (Théorème 0.2 de l'introduction et Théorème IV.2) s'explique comme la décomposition polyédrale d'un certain volume, et dans cette situation peut se démontrer de façon indépendante. En combinant ceci avec la formule pour la hauteur d'une variété torique

(theorem e V.1), on obtient un theorem e de Bezout arithm etique pour la hauteur norm alisee du cycle intersection d'une variete torique avec un diviseur m onomial.

Soient $A \in (\mathbb{Z}^n)^{N+1}$ tel que $L_A = \mathbb{Z}^n$ et $b \in \mathbb{Z}^{N+1}$, notons $X_A \subset \mathbb{P}^N$ et $\text{div}(x^b) \in \text{Div}(\mathbb{P}^N)$ la variete torique et le diviseur m onomial associes. On s'interessera au cycle intersection decoupe sur X_A par le m onome x^b ; le lem m e ci-dessous explicite ce cycle.

Pour chaque hyperface $F \in F_{n-1}(Q_A)$ on considere la variete $X_{A,F} \subset \mathbb{P}^N$, adherence de Zariski de l'orbite associee $X_{A,F}$. On considere aussi l'hyperplan d'appui $H_F \subset \mathbb{R}^n$ de cette face et $H_F^{\mathbb{Z}} = H_F \setminus \mathbb{Z}^n$; on considere egalement un point quelconque $a_F \in F$. Notons $L_{A,F}$ le \mathbb{Z} -module engendre par les differences des elements de $A \setminus F$, qui est un sous-reseau de $H_F^{\mathbb{Z}} \subset \mathbb{R}^n$ d'indice

$$i(A;F) = [H_F^{\mathbb{Z}} \setminus a_F : L_{A,F}] :$$

Rappelons que $v_F \in \mathbb{Z}^n$ designe le plus petit vecteur entier, orthogonal a H_F et v_F dirige vers l'interieur de Q_A . On pose $M_A(b) = (b_0, a_0) + \sum_{i=1}^N a_i \mathbb{Z}^n$ et $D = \text{deg}(x^b) = \sum_{j=0}^N b_j$.

Lem m e V.II.1. | Avec les notations ci-dessus, on a

$$X_A \cdot \text{div}(x^b) = \sum_{F \in F_{n-1}(Q_A)} h_{M_A(b)}(D, a_F; v_F) i(A;F) [X_{A,F}] \in \mathbb{Z}_{n-1}(\mathbb{P}^N)$$

ou $h; i$ designe le produit scalaire ordinaire de \mathbb{R} et $[X_{A,F}]$ le cycle de dimension $n-1$ par $X_{A,F}$.

En particulier, un cycle $[X_{A,F}]$ intervient comme composante de $X_A \cdot \text{div}(x^b)$ si et seulement si $M_A(b)$ n'appartient pas a l'hyperplan $H_F + (D-1)a_F$.

Demonstration. | Grace a la decomposition en orbites (I.3) on verifie que le cycle considere est supporte par la reunion des orbites de dimension 1, celles-ci correspondant aux hyperfaces de Q_A , soit

$$\left[\sum_{F \in F_{n-1}(Q_A)} X_{A,F} \right]$$

Explicitons les multiplicites correspondantes. Par linearite on peut se ramener sans perte de generalite au cas ou $b = e_i$ est un des vecteurs de la base standard de \mathbb{R}^{N+1} pour un certain $0 \leq i \leq N$, c'est-a-dire $x^b = x_i$. Fixons une hyperface F et soit $a_j \in F$ un sommet quelconque. Considerons le cone dual de l'angle de Q_A en a_j :

$$= \{u \in \mathbb{R}^n : \langle u, a_k - a_j \rangle \geq 0 \text{ pour } k = 0, \dots, N\} \subset \mathbb{R}^n ;$$

et soit U la variete torique a ne correspondante, de dimension

$$U = \text{Spec}(\overline{\mathbb{Q}}[S])$$

ou $S = \mathbb{Z}^n \setminus \mathbb{Z}^n$ est le semi-groupe des points entiers dans l'angle de Q_A en a_j [Fu193, § 1.3]. Considerons encore l'application naturelle $N : U \rightarrow (X_A)_{x_j} \rightarrow (\mathbb{P}^N)_{x_j}$ donnee par l'inclusion d'algebres

$$\overline{\mathbb{Q}}[(X_A)_{x_j}] = \overline{\mathbb{Q}}[s^{a_0 - a_j}, \dots, s^{a_N - a_j}] \rightarrow \overline{\mathbb{Q}}[S] = \overline{\mathbb{Q}}[U] :$$

La variete U est normale car S est un semi-groupe saturé, et de ce fait N est le morphisme de normalisation de la carte a ne $(X_A)_{x_j}$ [Stu96, Cor. 13.6].

Soit l'arête du cône dual de la face F , notons $V(\cdot)$ la clôture dans U de l'orbite correspondante [Fu193, § 3.1]. On a un diagramme commutatif

$$\begin{array}{ccc} \overline{Q}[(X_A)_{x_j}] & \xrightarrow{N} & \overline{Q}[U] \\ \# & & \# \\ \overline{Q}[(X_{A;F})_{x_j}] & \xrightarrow{N} & \overline{Q}[V(\cdot)] \end{array}$$

qui implique $N^{-1}(X_{A;F}) = V(\cdot)$ et $\deg(N_{\dot{y}(\cdot)}) = [H_F^Z : L_{A;F}] = i(A;F)$. Le monôme $\bar{u} = N(x_i) = s^{a_i} a_j^{-2} \overline{Q}[s_1^{-1}; \dots; s_n^{-1}]$ de nit une fonction rationnelle $U \rightarrow \overline{Q}$. On a $\text{ord}_{X_{A;F}}(x_i) = \deg(N_{\dot{y}(\cdot)}) \text{ord}_{V(\cdot)}(\cdot)$ puisque U est normal [Fu184, Exerc. 1.2.3.]. On en déduit

$$\begin{aligned} \text{long}_{\overline{Q}[(X_{A;F})_{x_j}]} \overline{Q}[(X_A)_{x_j}](x_i) &= \text{ord}_{X_{A;F}}(x_i) \\ &= \deg(N_{\dot{y}(\cdot)}) \text{ord}_{V(\cdot)}(\cdot) = i(A;F) \text{ord}_{V(\cdot)}(\cdot) : \end{aligned}$$

Finalement, le lemme de [Fu193, § 3.3, p. 61] entraîne $\text{ord}_{V(\cdot)}(\cdot) = h_{a_i} a_j; v_F i$ car v_F est le generateur du semi-groupe $\setminus Z^n = N$, d'où

$$m(X_A \text{ div}(x); X_{A;F}) = \text{long}_{\overline{Q}[(X_{A;F})_{x_j}]} \overline{Q}[(X_A)_{x_j}](x_i) = h_{a_i} a_j; v_F i i(A;F) : \quad \square$$

Le theorem de Bezout geom etrique

$$(VII.17) \quad \deg(X_A \text{ div}(x)) = D \deg(X_A)$$

s'interprète en termes de decomposition du volume du polytope Q_A : on a $\deg(X_A) = n! \text{Vol}_n(Q_A)$ et

$$\begin{aligned} \deg(X_{A;F}) &= (n-1)!_{A(F)}(F) \\ &= \frac{(n-1)!}{\text{Vol}_{n-1}(H_F = L_{A;F})} \text{Vol}_{n-1}(F) = \frac{(n-1)!}{i(A;F) \prod v_F} \text{Vol}_{n-1}(F) ; \end{aligned}$$

a cause de la normalisation de la forme volume $_{A(F)}$ sur H_F et du fait que

$$\text{Vol}_{n-1}(H_F = L_{A;F}) = i(A;F) \quad \text{Vol}_{n-1}(H_F = H_F^Z) = i(A;F) \prod v_F ;$$

conséquence de la formule de Brill-Gordan. On a encore

$$hM_A(b) - D a_F; v_F i = "(b;F) k v_F k_2 \text{dist}(M_A(b); H_F + (D-1)a_F) ;$$

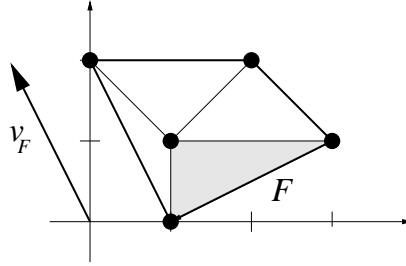
ou $"(b;F) = +1$ si $M_A(b)$ et v_F sont d'un même côté de l'hyperplan $H_F + (D-1)a_F$ et $"(b;F) = -1$ sinon. Combine avec le lemme VII.1 cela donne

$$\begin{aligned} \deg(X_A \text{ div}(x)) &= \sum_{X} hM_A(b) - D a_F; v_F i i(A;F) \deg(X_{A;F}) \\ &= \sum_{X} "(b;F) (n-1)! \text{Vol}_{n-1}(F) \text{dist}(M_A(b); H_F + (D-1)a_F) \\ &= \sum_{X} n! "(b;F) \text{Vol}_n(\text{Conv}(F + (D-1)a_F; M_A(b))) : \end{aligned}$$

L'identite (VII.17) cidessus (multipliée par $n!^{-1}$) se traduit ainsi en la decomposition de volume

$$(VII.18) \quad \sum_{X} "(b;F) \text{Vol}_n(\text{Conv}(F + (D-1)a_F; M_A(b))) = D \text{Vol}_n(Q_A) :$$

La figure suivante illustre cette decomposition, pour $A = (1;1); (1;0); (3;1); (2;2); (0;2) \in (\mathbb{Z}^2)^6$ et $b = (1;0;0;0;0)$ (donc $M_A(b) = (1;1) = a_0$ et $D = 1$) :



Soit $(a_0; \dots; a_N) \in \mathbb{Z}^{N+1}$. Pour le cas $(N)^{N+1}$, le theoreme de Bezout pour les poids de Chow (theoreme IV 2) s'ecrit dans les notations du § IV

$$(VII.19) \quad e(X_A, \text{div}(\tilde{x})) = D \in (X_A) \quad m(X_A, \text{div}(x^b)); (Y)) \deg(Y) : \\ Y \in \text{Irr}(\text{init}(X_A))$$

On va expliciter les termes intervenant dans cet enonce. Soit

$$Q_A = \text{Conv}((a_0; 0); \dots; (a_N; N)) \subset \mathbb{R}^{n+1}$$

le polytope associe au couple $(A;)$, dont la toiture E_A (c'est-a-dire l'enveloppe superieure) s'envoie bijectivement sur Q_A par la projection $\mathbb{R}^n \rightarrow \mathbb{R}^n$. On appelle pan de la toiture toute face de dimension n de E_A . De meme, on appelle mur tout polytope de la forme $\text{Conv}(Q_A(F); F \cap f(0)g)$ pour une hyperface F de Q_A ; dans le cas 0 ceci est un des murs de la maison $M_A = \text{Conv}(Q_A; [Q_A \cap f(0)g])$, c'est-a-dire une face de dimension n se projetant sur une face de dimension $n-1$ de Q_A .

La deformation torique (X_A) est l'adherence de Zariski de l'application

$$G_m \times G_m^n \rightarrow \mathbb{P}^1 \times \mathbb{P}^N; (t;s) \mapsto (1:t); (t^0 s^{a_0} : \dots : t^N s^{a_N})$$

C'est donc la variete torique bi-projective associee aux vecteurs $(0;1) \in (\mathbb{Z}^1)^2$ et $(;A) = (0;a_0); \dots; (N;a_N) \in (\mathbb{Z} \times \mathbb{Z}^n)^{N+1}$, voir § I. Le couple de polytopes associe est donc $0 \in [0;1]$ et Q_A ; comme consequence de la decomposition en orbites decrite au § I, on verifie que les points de (X_A) contenus dans l'hyperplan $f(0:1)g \subset \mathbb{P}^N$ correspondent necessairement aux couples de faces de la forme $(f(0:1)g; F)$ avec $F \in F_n(E_A)$. On voit ainsi qu'il y a bijection entre les pans de E_A et les orbites de X_A contenues dans l'hyperplan $f(0:1)g \subset \mathbb{P}^N$, en particulier le support de X_A ($f(0:1)g \subset \mathbb{P}^N$) est contenu dans

$$\left[\begin{array}{l} X_A; \mathbb{P} \\ \mathbb{P} \in F_n(E_A) \end{array} \right]$$

L'identification $\mathbb{P}^N \cap f(0:1)g \subset \mathbb{P}^N \rightarrow \mathbb{P}^1 \times \mathbb{P}^N$ met en correspondance le cycle X_A ; ($f(0:1)g \subset \mathbb{P}^N$) et la variete initiale $\text{init}(X_A)$, on en deduit qu'il y a bijection entre les composantes de $\text{init}(X_A)$ et les pans de E_A .

Pour chaque pan P on considere son hyperplan d'appui $H_P \subset \mathbb{R}^{n+1}$, posons $L_{A; P} \subset \mathbb{Z}^{n+1}$ le \mathbb{Z} -module engendre par les differences des elements de $(;A) \setminus P$. Module une translation, ce dernier est un sous-reseau de $H_P^{\mathbb{Z}} = H_P \cap \mathbb{Z}^{n+1}$ d'indice

$$i(A; ;P) = [H_P^{\mathbb{Z}} : L_{A; P}] :$$

Avec ces notations, d'apres [Stu94, formule (27), page 222] (voir aussi [KSZ92, Thm. 5.3.]), on a

$$X_A \cdot (f(0:1)g \subset \mathbb{P}^N) = (\text{init}(X_A)) = \sum_{P \in F_n(E_A)} i(A; ;P) [X_A; \mathbb{P}] :$$

Pour chaque pan P on note $(v_P; w_P) \in \mathbb{Z}^n \setminus \mathbb{Z}$ le plus petit vecteur entier orthogonal au plan d'appui $H_P \subset \mathbb{R}^{n+1}$ tel que $w_P < 0$. On note aussi $(a_P; p)$ un point quelconque de P .

Le vecteur $\mathbf{1}$ induit une décomposition polyédrale cohérente $DPC(Q_A)$ du polytope de base Q_A . Les faces S de dimension n de cette décomposition sont en correspondance avec les pans de la toiture; pour $S \in DPC(Q_A)$ on écrit $Pan(S) \in F_n(E_A; \cdot)$ pour le pan correspondant.

Lemme VII.2. | Soient $\mathbf{1} \in \mathbb{Z}^{n+1}$ et $P \in F_n(E_A; \cdot)$ un pan de la toiture de Q_A ; alors,

$$m(X_A; \text{div}(x^b); X_A; p) = (M_A(b) - D a_P; v_P \cdot \mathbf{1} - D_P w_P) \cdot i(A; p);$$

avec $(x^b) = (t^0 x_0; \dots; t^n x_n)^b = t_0^{b_0} \dots t_n^{b_n} x^b$.

Démonstration. | Cette démonstration étant tout à fait analogue à celle du lemme VII.1, on n'indiquera que les pas principaux.

Par linéarité on peut se ramener au cas où $b = e_i$ est un des vecteurs de la base standard de \mathbb{R}^{n+1} , donc $x^b = x_i$. Soit $(a_j; j)$ un sommet quelconque du pan P , on se place dans la carte affine $A^1 \times A^N \times P^1 \times P^N$ correspondant à $t_i \notin 0$ et $x_j \notin 0$ (puisque l'on veut calculer une multiplicité le long d'une sous-variété de $Z(t_0)$). Dans cette carte, l'application monomiale s'écrit

$$G_m \times G_m^n \times A^1 \times A^N; (t; s) \mapsto t; t^{j_0} s^{a_0 a_j}; \dots; t^{j_N} s^{a_N a_j}$$

et donc l'algèbre de cette carte affine de X_A est

$$\overline{Q}[(X_A; t_1 x_j)] = \overline{Q} [t; t^{j_0} s^{a_0 a_j}; \dots; t^{j_N} s^{a_N a_j}];$$

La normalisation de cette algèbre correspond au cône

$$\mathbb{R} = \{ (u; v) \in \mathbb{R}^n \times \mathbb{R} : v \geq 0; hu; a_k - a_j i + v(j - k) \geq 0; k = 0; \dots; N \}$$

Le reste de la démonstration suit les lignes de celle du lemme VII.1, en considérant la normalisation de $(X_A; t_1 x_j)$ donnée par le semi-groupe des points entiers $S = \mathbb{R} \setminus \mathbb{Z}^n$.

L'hyperplan $H_P \subset \mathbb{R}^{n+1}$ est un des plans d'appui du cône \mathbb{R} , car P est un pan. Il définit donc une arête du cône dual \mathbb{R}^* , dont le semi-groupe $\mathbb{R}^* \setminus \mathbb{Z}^n$ est engendré par $(v_P; w_P)$. Comme $(x_i) = t^i x_i = t^j s^{a_i a_j}$ sur la carte considérée, on en conclut

$$\begin{aligned} m(X_A; \text{div}(x_i); X_A; p) &= h(a_i; 0) - (a_j; j); (v_P; w_P) \cdot i(A; p) \\ &= (h a_i - a_j; v_P \cdot \mathbf{1} - j w_P) \cdot i(A; p); \end{aligned}$$

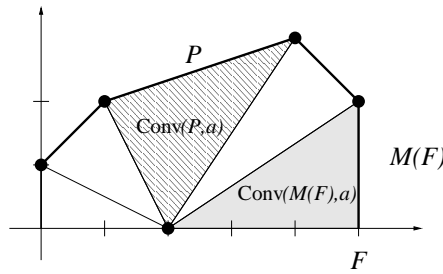
□

Proposition VII.3. | Soit $A \subset (\mathbb{Z}^n)^{N+1}$ tel que $L_A = \mathbb{Z}^n$, $b \in \mathbb{Z}^{N+1}$ et $\mathbf{1} \in \mathbb{N}^{N+1}$, alors l'égalité (VII.19) correspond terme à terme à la suivante, multipliée par $(n+1)!$,

$$\begin{aligned} D \text{Vol}_{n+1}(M_A; \cdot) &= \sum_{F \in F_{n-1}(Q_A)} \text{"}(b; F) \text{Vol}_{n+1}(\text{Conv}(M(F) + (D - 1)(a_F; 0); (M_A(b); 0))) \\ &+ \sum_{P \in F_n(E_A; \cdot)} \text{"}(b; P) \text{Vol}_{n+1}(\text{Conv}(P + (D - 1)(a_P; p); (M_A(b); 0))) \end{aligned}$$

où $\text{"}(b; F) = +1$ (resp. $\text{"}(b; P) = +1$) si $M_A(b)$ et v_F (resp. $(M_A(b); 0)$ et $(v_P; w_P)$) sont d'un même côté de l'hyperplan $H_F + (D - 1)a_F$ (resp. $H_P + (D - 1)(a_P; p)$) et $\text{"}(b; F) = -1$ (resp. $\text{"}(b; P) = -1$) sinon.

La figure suivante (pour $b = e_i, D = 1$ et $M_A(b) = a_i$) illustre cette décomposition :



Démonstration. | Montrons comment (VII.19) se traduit en la décomposition de l'intégrale de la fonction $\#_A; : Q_A \rightarrow \mathbb{R}$ paramétrant la toiture E_A ; de la proposition VII.3. On a d'abord

$$e(X_A) = (n+1)! \int_{Q_A} \#_A; (u) du = \int_{Q_A} (n+1)! \text{Vol}_{n+1}(M_A;)$$

puis, par le lemme VII.1 il vient

$$e(X_A; \text{div}(x^b)) = \sum_{F \in \mathcal{F}_{n-1}(Q_A)} h_{M_A}(b; D_{a_F; v_F}) i(A; F) e(X_{A; F});$$

et pour chaque face F de Q_A

$$e(X_{A; F}) = \frac{n!}{i(A; F) \prod_{v \in V_F} \langle v, \bar{v} \rangle} \#_A; (d_{n-1}) = \frac{n!}{i(A; F) \prod_{v \in V_F} \langle v, \bar{v} \rangle} \text{Vol}_n(M(F))$$

où $M(F) \subset \mathbb{R}^{n+1}$ désigne le mur de la maison M_A ; au-dessus de F . Ainsi

$$\begin{aligned} h_{M_A}(b; D_{a_F; v_F}) i(A; F) e(X_{A; F}) &= n! \cdot (b; F) \text{dist}(M_A(b); F + (D-1)a_F) \text{Vol}_n(M(F)) \\ &= (n+1)! \cdot (b; F) \text{Vol}_{n+1}(\text{Conv}(M(F) + (D-1)(a_F; 0); M_A(b); 0)) : \end{aligned}$$

Finalement, soit Y une composante irréductible de $\text{init}(X_A)$ puis $S \in \mathcal{DPC}(Q_A)$ et $P := \text{Pan}(S) \in \mathcal{F}_n(E_A;)$ les faces correspondantes dans la subdivision et dans la toiture respectivement, on a

$$\deg(Y) = \frac{n!}{i(A; S)} \text{Vol}_n(S) = \frac{n!}{i(A; ; P) \prod_{v \in V_P} \langle v, \bar{w}_P \rangle} \text{Vol}_n(P) :$$

Le lemme VII.2 entraîne alors

$$\begin{aligned} m(X_A; \text{div}(x^b); (Y)) \deg(Y) &= \frac{n!}{\prod_{v \in V_P} \langle v, \bar{w}_P \rangle} h_{M_A}(b; 0; D_{(a_P; P)}; (v_P; w_P)) i \text{Vol}_n(P) \\ &= (n+1)! \cdot (b; P) \text{Vol}_{n+1}(\text{Conv}(P + (D-1)(a_P; P); M_A(b); 0)) : \end{aligned}$$

En regroupant ces calculs on voit que l'identité (VII.19) (multipliée par $\frac{1}{(n+1)!}$) se traduit dans la décomposition cherchée. \square

Pour $S \in \mathcal{DPC}(Q_A)$ on définit $\mu_S(b) \in \mathbb{R}$ l'unique réel tel que $(M_A(b); \mu_S(b)) \in H_{\text{Pan}(S)} + (D-1)(a_{\text{Pan}(S)}; \text{Pan}(S))$. Le lemme suivant explicite cette quantité.

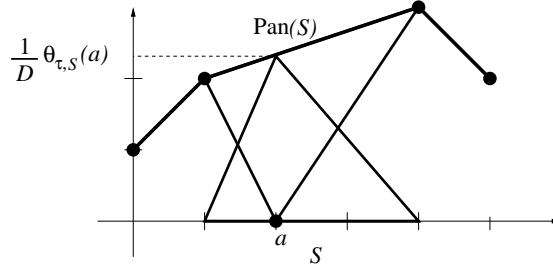
Lemme VII.4. | Soit $S \in \mathcal{DPC}(Q_A)$ et $a_{j_0}; \dots; a_{j_n} \in S$ des vecteurs linéairement indépendants. Soit $b \in \mathbb{Z}^{N+1}$ et $D := \sum_{j=0}^n b_j$, alors

$$\mu_S(b) \det \begin{pmatrix} 1 & 1 & \dots & 1 & D \\ a_{j_0,1} & a_{j_1,1} & \dots & a_{j_n,1} & M_A(b)_1 \\ \vdots & \vdots & \ddots & \vdots & \vdots \\ a_{j_0,n} & a_{j_1,n} & \dots & a_{j_n,n} & M_A(b)_n \end{pmatrix} = \det \begin{pmatrix} 1 & 1 & \dots & 1 & D \\ a_{j_0,1} & a_{j_1,1} & \dots & a_{j_n,1} & M_A(b)_1 \\ \vdots & \vdots & \ddots & \vdots & \vdots \\ a_{j_0,n} & a_{j_1,n} & \dots & a_{j_n,n} & M_A(b)_n \\ j_0 & j_1 & \dots & j_n & 0 \end{pmatrix} :$$

En triangulant S par des simplexes et en utilisant la relation entre déterminant et volume, on peut réécrire ceci sous la forme (on pose $P = \text{Pan}(S)$) :

$$(VII.20) \quad \sum_S (b) \text{Vol}_n(S) = (n+1) \sum_{i=0}^n (b; P) \text{Vol}_{n+1} \text{Conv}(P + (D-1)(a_P; P); M_A(b); 0) \\ = m(X_A; \text{div}(x^b)); (Y)) \text{deg}(Y)$$

qui s'interprète comme l'égalité des volumes montrés dans la figure suivante (lorsque $D = 1$ et en posant $a = M_A(b)$) :



Démonstration. | C'est un calcul direct de l'intersection des espaces linéaires $H_{\text{Pan}(S)} + (D-1)(a_{\text{Pan}(S)}; \text{Pan}(S))$ et $\text{fm}_A(b) \in \mathbb{R}$: on a $\sum_S (b) = \sum_{i=0}^n v_i x_{j_i}$ ou $v = (v_0; \dots; v_n) \in \mathbb{R}^{n+1}$ est l'unique solution du système linéaire

$$\sum_{i=0}^n v_i = D \quad ; \quad \sum_{i=0}^n v_i a_{j_i} = M_A(b) :$$

On résout ce système par les formules de Cramer et on trouve ainsi

$$\sum_S (b) \det \begin{pmatrix} 1 & \dots & 1 \\ a_{j_0,1} & \dots & a_{j_n,1} \\ \vdots & \ddots & \vdots \\ a_{j_0,n} & \dots & a_{j_n,n} \end{pmatrix} = \sum_{i=0}^n \det \begin{pmatrix} 1 & \dots & 1 & \dots & 1 \\ a_{j_0,1} & \dots & a_{j_i,1} & \dots & a_{j_n,1} \\ \vdots & \ddots & \vdots & \ddots & \vdots \\ a_{j_0,n} & \dots & a_{j_i,n} & \dots & a_{j_n,n} \end{pmatrix} \frac{M_A(b)_i}{D}$$

qui est le développement du déterminant dans le membre droite de l'énoncé, par rapport à la dernière ligne. \square

Ceci permet d'écrire l'identité (VII.19) de la façon suivante :

Proposition VII.5. | Soit $A \in (\mathbb{Z}^n)^{N+1}$, $b \in \mathbb{Z}^{N+1}$ et $D = (d_0; \dots; d_N) \in \mathbb{R}^{N+1}$, posons $D = \sum_{j=0}^N d_j b_j$, alors

$$\sum_{S \in \text{DPC}(Q_A)} \sum_{i=0}^N d_i \text{Vol}_n(S) = \sum_{S \in \text{DPC}(Q_A)} \sum_{i=0}^N d_i \text{Vol}_n(S) \frac{\text{Vol}_n(S)}{\text{Vol}_n(Q_A)} ;$$

où la seconde somme porte sur les faces S de dimension n de la décomposition polyédrale $\text{DPC}(Q_A)$.

Démonstration. | Le cas \mathbb{Z}^{N+1} résulte de la proposition VII.3 et de (VII.20). Ceci s'étend successivement à \mathbb{Z}^{N+1} à cause de l'invariance de la formule par remplacement de x par $x+c$ ($1; \dots; 1$) avec $c \in \mathbb{Z}^N$. Puis, la formule s'étend à \mathbb{Q}^{N+1} par homogénéité et finalement à \mathbb{R}^{N+1} par continuité. \square

Avec la notation (IV.9) on peut encore écrire cet énoncé sous la forme :

$$w_{X_A}(x^b) = \sum_{S \in \text{DPC}(Q_A)} \sum_{i=0}^N d_i \frac{\text{Vol}_n(S)}{\text{Vol}_n(Q_A)} ;$$

dont on v erifie, par continuit e et homog en eite, la validit e pour tout $\mathbb{S} \in \mathbb{R}^{N+1}$. Dans le cas ou $\text{div}(x^b)$ est effectif, c'est- a-dire quand $b \in \mathbb{N}^{N+1}$, on a $\sum_{i \in \mathbb{S}} (b_i) \geq 0$ pour tout $\mathbb{S} \in \text{DPC}(Q_A)$  a cause de la concavit e de la toiture du polytope Q_A , et donc

$$\left(\sum_{i \in \mathbb{S}} b_i \right) \deg(X_A) \geq n! \sum_{\mathbb{S} \in \text{DPC}(Q_A)} \sum_{i \in \mathbb{S}} (b_i) \text{Vol}_n(\mathbb{S}) ;$$

ainsi

$$(VII.21) \quad h(X_A, \text{div}(x^b)) \geq D h(X_A) + \left(\sum_{i \in \mathbb{S}} b_i \right) \deg(X_A) ;$$

Alternativement, on peut d emontrer cette in egalit e par application directe du th eor eme 0.2 et de l'exemple IV.1.

On en d eduit un th eor eme de Bezout arithm etique exact pour la hauteur normalis ee de l'intersection d'une vari ete torique avec un diviseur monomial:

Corollaire VII.6. | Soit K un corps de nombres, $A \in (\mathbb{Z}^n)^{N+1}$ tel que $L_A = \mathbb{Z}^n$, $\mathbb{S} \in \text{DPC}(Q_A)$ et $b \in \mathbb{N}^{N+1}$. Posons $v = (\log j_0, \dots, \log j_N)$ pour toute place $v \in M_K$ et $D = \sum_{j=1}^N b_j$, alors

$$\begin{aligned} h(X_A; \text{div}(x^b)) &= D h(X_A) + n! \sum_{v \in M_K} \frac{[K_v : Q_v]}{[K : Q]} \sum_{\mathbb{S} \in \text{DPC}_v(Q_A)} \sum_{i \in \mathbb{S}} (b_i) \text{Vol}_n(\mathbb{S}) \\ &= D h(X_A) + \sum_{v \in M_K} \frac{[K_v : Q_v]}{[K : Q]} w_{X_A; v}(x^b) \deg(X_A) ; \end{aligned}$$

En particulier, si $\text{div}(x^b)$ est effectif (c'est- a-dire $b \in \mathbb{N}^{N+1}$) on a $h(X_A; \text{div}(x^b)) \geq D h(X_A)$.

D emonstration. | Pour l'identit e on remarque que $X_A, \text{div}(x^b) = (X_A, \text{div}(x^b))$. En sommant sur $v \in M_K$ l' egalit e de la proposition VII.5 avec les coefficients $\frac{[K_v : Q_v]}{[K : Q]}$, on conclut gr ace au th eor eme V.1.

Pour  tablir l' egalit e, on a par (VII.21)

$$\begin{aligned} h(X_A; \text{div}(x^b)) &\geq D h(X_A) + \sum_{v \in M_K} \frac{[K_v : Q_v]}{[K : Q]} \left(\sum_{i \in \mathbb{S}} b_i + \sum_{i \in \mathbb{N}} b_i \right) \deg(X_A) \\ &\geq D h(X_A) + \sum_{v \in M_K} \frac{[K_v : Q_v]}{[K : Q]} w_{X_A; v}(x^b) \deg(X_A) \end{aligned}$$

car $\sum_{v \in M_K} \frac{[K_v : Q_v]}{[K : Q]} w_{X_A; v}(x^b) = 0$ pour $i = 0, \dots, N$, gr ace  a la formule du produit. \square

Si l'on d efinit la hauteur de x^b relative  a la vari ete X_A , par la formule

$$h_{X_A}(x^b) := \sum_{v \in M_K} \frac{[K_v : Q_v]}{[K : Q]} w_{X_A; v}(x^b)$$

le r esultat pr ec edent se r ecrit

$$h(X_A; \text{div}(x^b)) = D h(X_A) + h_{X_A}(x^b) \deg(X_A) ;$$

Références

- [AD 03] F. Amoroso, S. David, Minoration de la hauteur normalisée dans un tore, *J. Inst. Math. Jussieu* 2 (2003) 335–381.
- [AD 04] F. Amoroso, S. David, Le problème de Lehmer en dimension supérieure. II, prépublication de l’université de Caen, 2004.
- [Aud91] M. Audin, The topology of torus actions on symplectic manifolds, *Progress in Math.* 93, Birkhauser, 1991.
- [Ber87] D. Bertrand, Lemmes de zéros et nombres transcendants, *Seminaire Bourbaki 1985/86*, *Asterisque* 145 & 146 (1987) 21–44.
- [BP 88] D. Bertrand, P. Philippon, Sous-groupes algébriques de groupes algébriques commutatifs, *Illinois J. Math.* 32 (1988) 263–280.
- [Cha89] M. Chardin, Une majoration de la fonction de Hilbert et ses conséquences pour l’interpolation algébrique, *Bull. Soc. Math. France* 117 (1989) 305–318.
- [CP 99] M. Chardin, P. Philippon, Régularité et interpolation, *J. Algebraic Geom.* 8 (1999) 471–481.
- [Cox01] D. Cox, Minicourse on toric varieties, notes d’un cours donné à l’université de Buenos Aires en Juillet 2001. Téléchargeable à <http://www.amherst.edu/~dacox/>.
- [CLO 98] D. Cox, J. Little, D. O’Shea, *Using algebraic geometry*, Graduate Texts in Math. 185, Springer, 1998.
- [Dav03] S. David, On the height of subvarieties of groups varieties, a paraître dans le *J. Ramanujan Math. Soc.*
- [DP 99] S. David, P. Philippon, Minorations des hauteurs normalisées des sous-variétés des tores, *Ann. Scuola Norm. Sup. Pisa* 28 (1999) 489–543.
- [Don02] S.K. Donaldson, Scalar curvature and stability of toric varieties, *J. Differential Geom.* 62 (2002) 289–349.
- [ES96] D. Eisenbud, B. Sturmfels, Binomial ideals, *Duke Math. J.* 84 (1996) 1–45.
- [EF 02] J.-H. Evertse, R.G. Ferretti, Diophantine inequalities on projective varieties, *Internat. Math. Res. Not.* 25 (2002) 1295–1330.
- [Ewa96] G. Ewald, *Combinatorial convexity and algebraic geometry*, Graduate Texts in Math. 168, Springer, 1996.
- [Fer03] R.G. Ferretti, Diophantine approximation and toric deformations, *Duke Math. J.* 118 (2003) 493–522.
- [Ful84] W. Fulton, *Intersection theory*, *Ergeb. Math. Grenzgeb.* (3) 2, Springer, 1984.
- [Ful93] W. Fulton, *Introduction to toric varieties*, *Ann. Math. Studies* 131, Princeton Univ. Press, 1993.
- [GKZ94] I.M. Gelfand, M.M. Kapranov, A.V. Zelevinsky, *Discriminants, resultants and multidimensional determinants*, Birkhauser, 1994.
- [KSZ92] M.M. Kapranov, B. Sturmfels, A.V. Zelevinsky, Chow polytopes and general resultants, *Duke Math. J.* 67 (1992) 189–218.
- [Mum 77] D. Mumford, Stability of projective varieties, *Enseign. Math.* 23 (1977) 39–110.
- [Phi91] P. Philippon, Sur des hauteurs alternatives, *I, Math. Ann.* 289 (1991) 255–283.
- [PS04] P. Philippon, M. Sombra, Hauteur normalisée des variétés toriques projectives, téléchargeable à <http://fr.arxiv.org/abs/math.NT/0406476>, 38 pp..
- [PS05] P. Philippon, M. Sombra, Géométrie diophantienne et variétés toriques, *C. R. Math. Acad. Sci. Paris* 340 (2005) 507–512.
- [PS06] P. Philippon, M. Sombra, A propos du minimum essentiel des translates de sous-tores, *manuscrit*, 16 pp..
- [Rat04] N. Ratazzi, Minoration de la hauteur de Néron-Tate pour les points et les sous-variétés : variations sur le problème de Lehmer, thèse de Doctorat, Université de Paris VI, 2004.
- [Rem 01a] G. Renard, Élimination multihomogène, chapitre 5 de *Introduction to algebraic independence theory*, *Lecture Notes in Math.* 1752 (2001) 53–81.

- [Rem 01b] G. Remond, *Géométrie diophantienne multiprojective*, chapitre 7 de *Introduction to algebraic independence theory*, Lecture Notes in Math. 1752 (2001) 95-131.
- [Sch91] W. M. Schmidt, *Diophantine approximation and diophantine equations*, Lecture Notes in Math. 1467, Springer, 1991.
- [Som 05] M. Sombra, *Minimums successifs des variétés toriques projectives*, J. Reine Angew. Math. 586 (2005) 207-233.
- [Stu94] B. Sturmfels, *On the Newton polytope of the resultant*, J. Algebraic Combin. 3 (1994), 207-236.
- [Stu96] B. Sturmfels, *Grobner bases and convex polytopes*, Amer. Math. Soc., 1996.
- [Zha95] S.-W. Zhang, *Positive line bundles on arithmetic varieties*, J. Amer. Math. Soc. 8 (1995) 187-221.

Patrice Philippon, Institut de Mathématiques de Jussieu (U.M.R. 7586), *Projet Géométrie et Dynamique*.
Case 7012, 2 place Jussieu, 75251 Paris Cedex 05, France.

E-mail: pph@math.jussieu.fr

Url: <http://www.math.jussieu.fr/~pph/>

Martin Sombra, Universitat de Barcelona, *Départament d'Àlgebra i Geometria*. Gran Via 585, 08007
Barcelona, Espagne.

E-mail: sombra@ub.edu

Url: <http://atlas.mat.ub.es/personals/sombra/>